

# Contrôle des propriétés optiques et de chimie de surface de verres par poling thermique

Prix de thèse de l'USTV

Co-tutelle entre l'**Université de Bordeaux** et **University of Central Florida**

**Antoine Lopicard**

Sous la direction de :

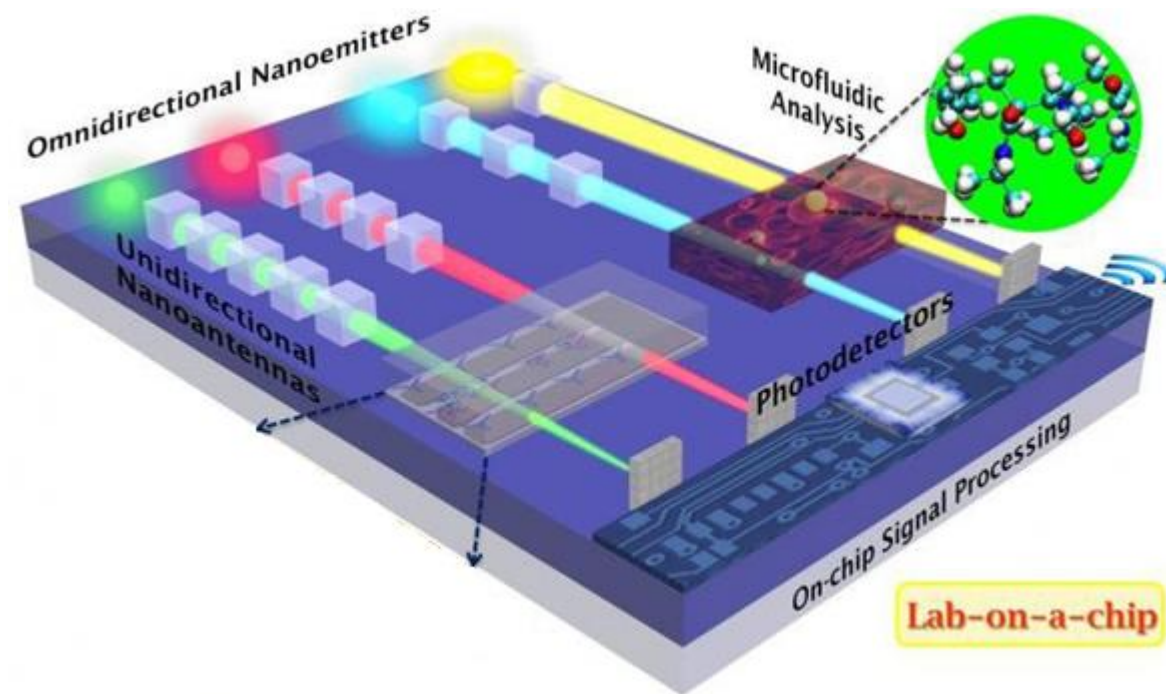
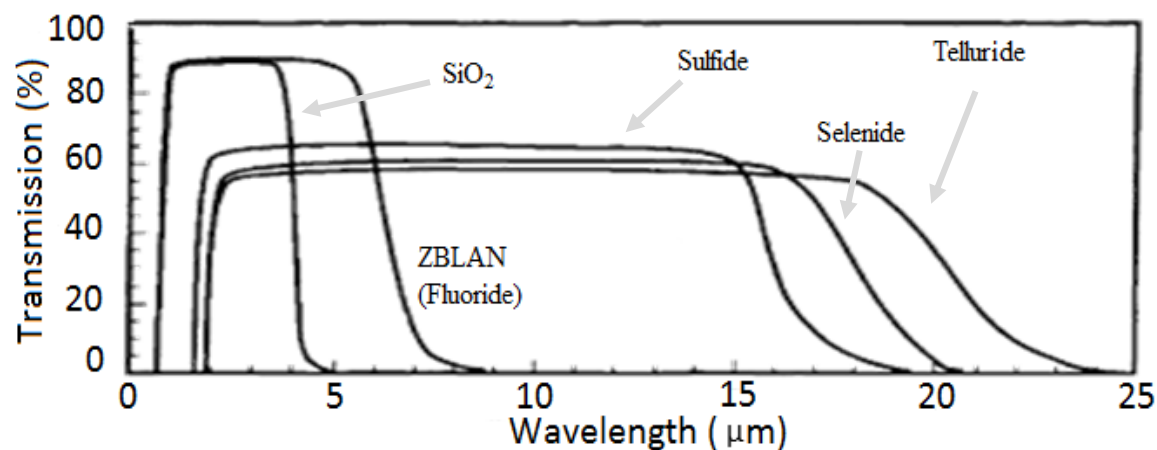
Vincent Rodriguez (UB)

Marc Dussauze (UB)

Kathleen Richardson (UCF)

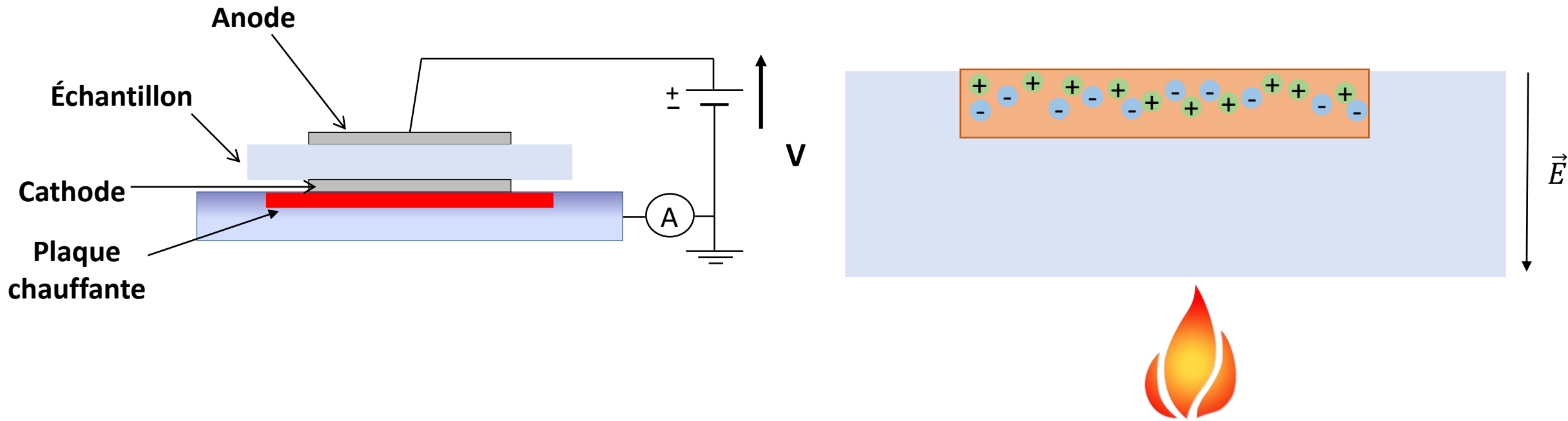
**Journées Verre Lille 2017**

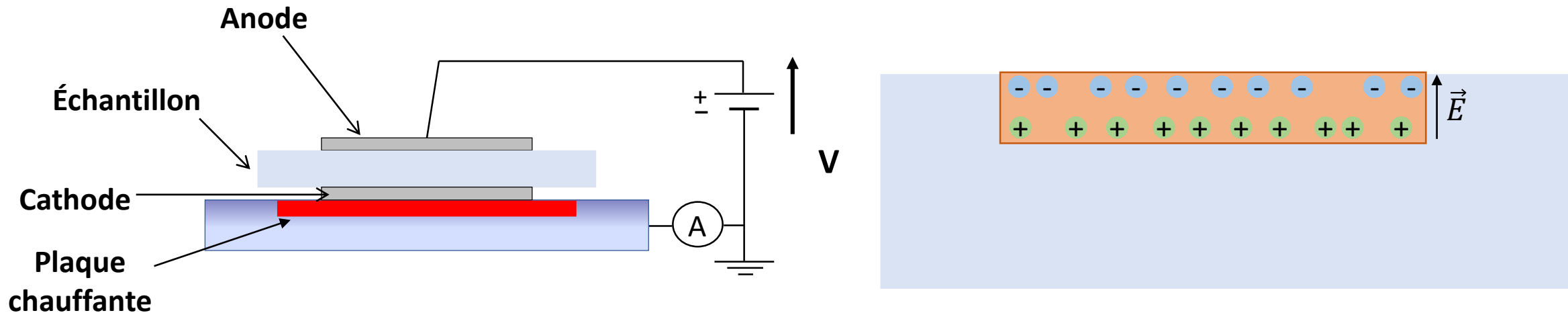
Sanghera et al., *Fiber Integr. Opt.* - 2000.



D. Sidkar, Monash University

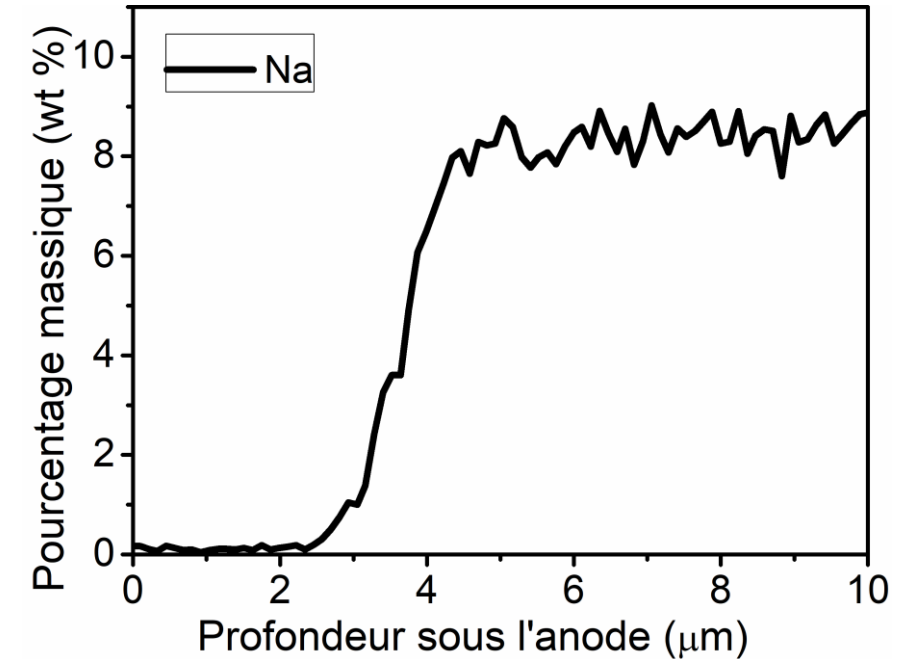
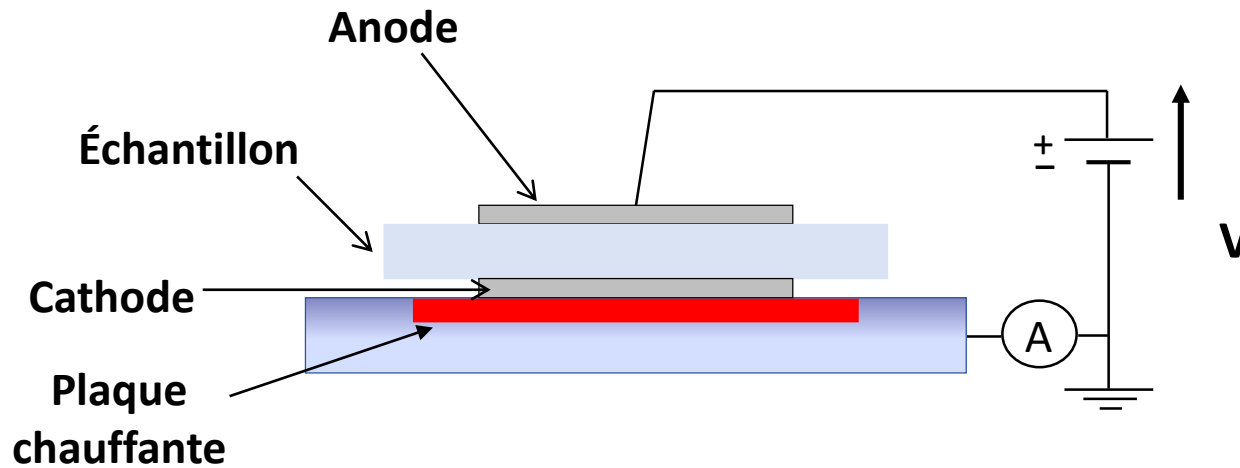
**Contrôle multi-échelles des propriétés optiques et chimiques**





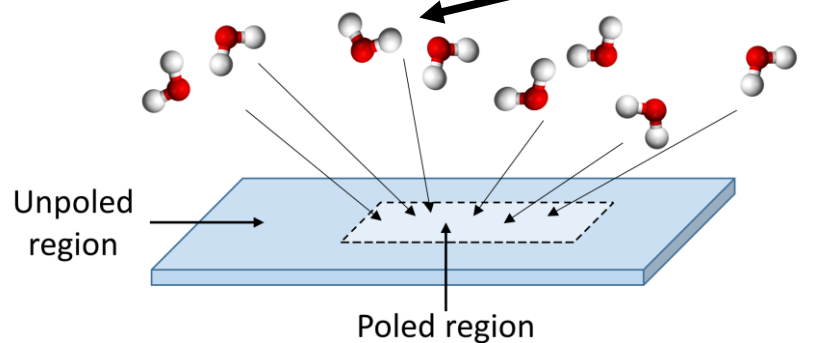
- Champ électrique statique induit

Profilé mesuré en microsonde sur un verre sodo-calcique

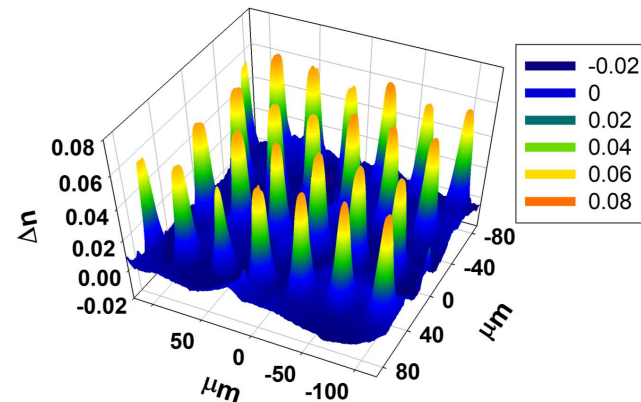


- Champ électrique statique induit
- Changement local de composition
- Changement local de structure

- Changement local de structure
- Changement local de composition
- Champ électrique statique

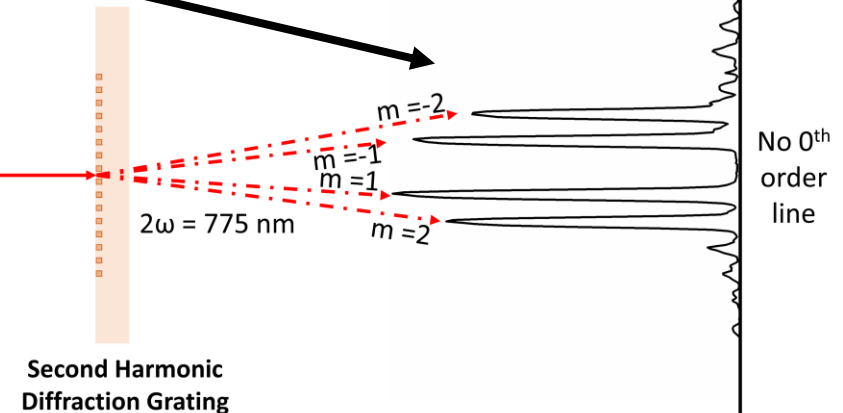


*Contrôle de la chimie de surface dans un borosilicate*



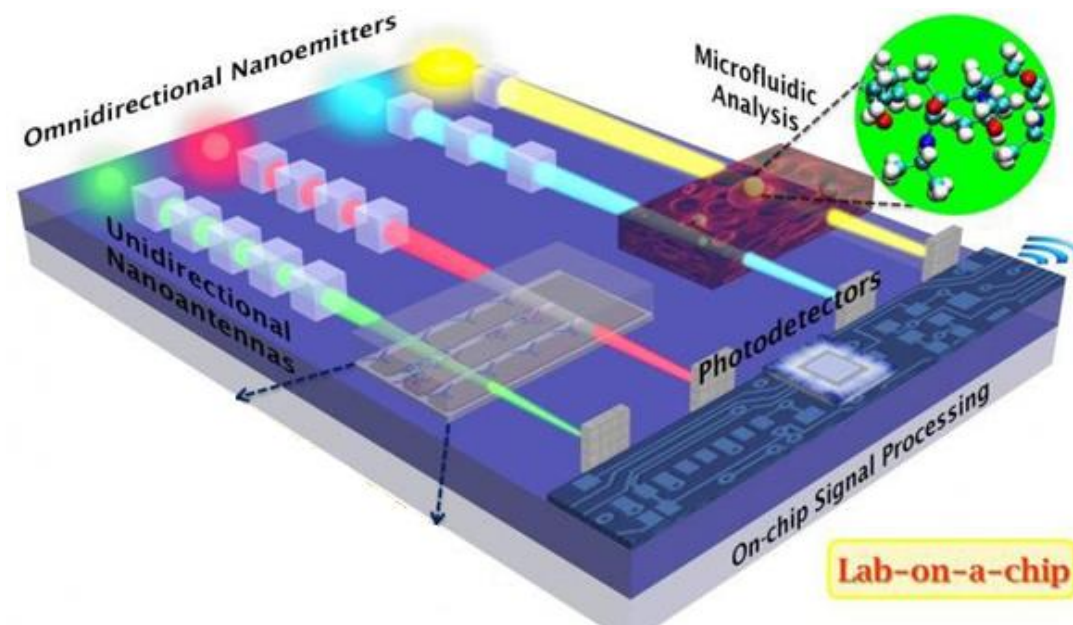
*Création d'éléments optiques microstructurés*

$\omega = 1550 \text{ nm}$



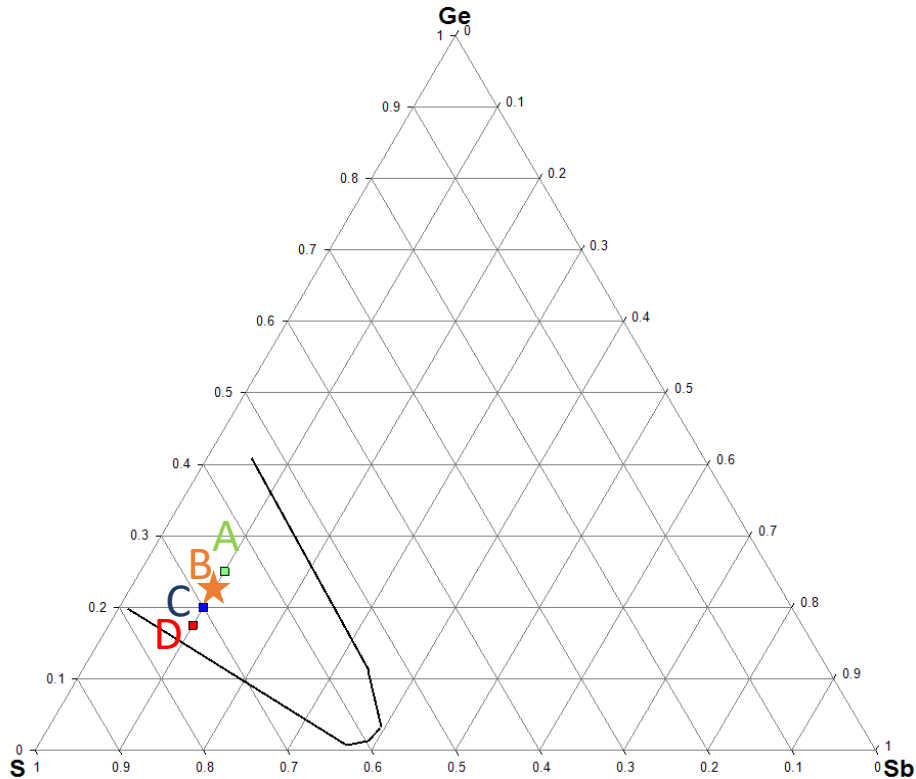
*Stabilisation et contrôle de l'anisotropie à l'échelle micrométrique*

# Poling thermique pour la fabrication d'optiques microstructurées dans les verres de chalcogénures

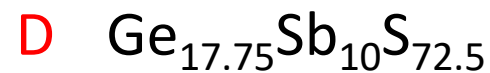
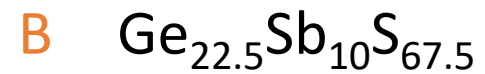
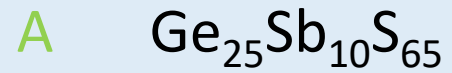


D. Sidkar, Monash University





## Compositions



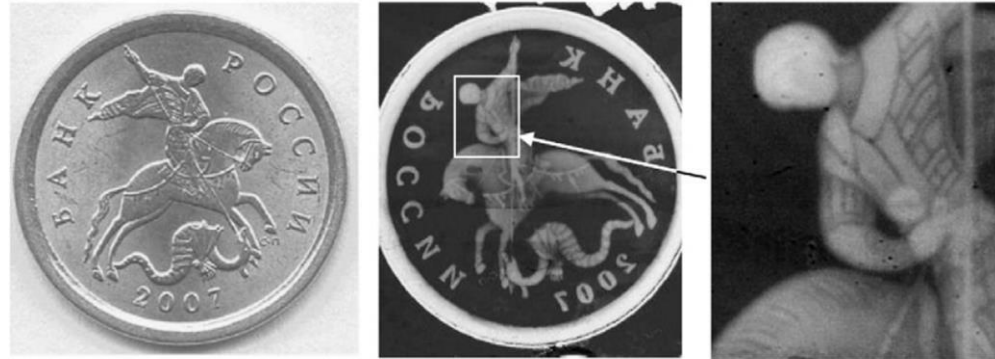
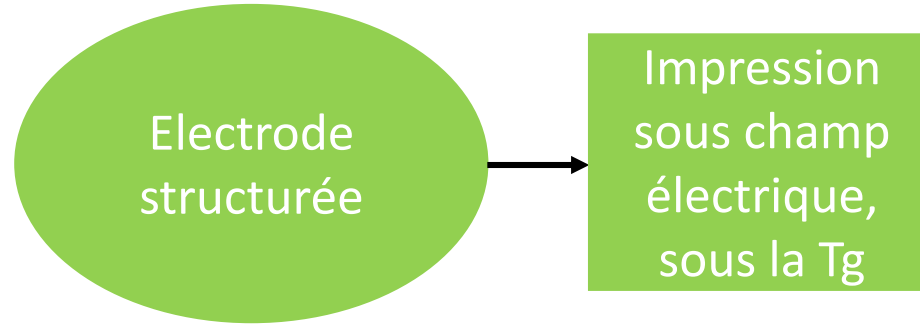
0

1 mol%  $\text{Na}_2\text{S}$

3

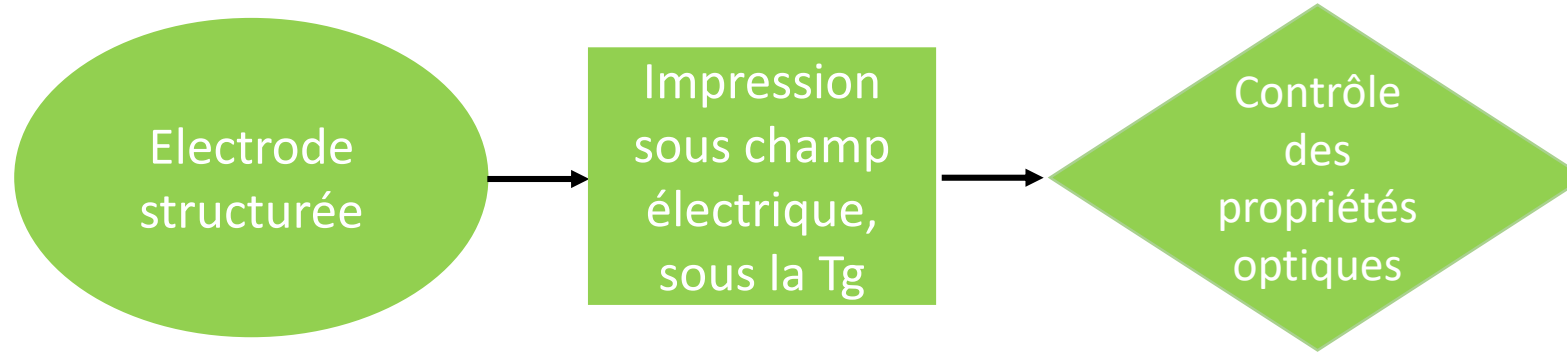




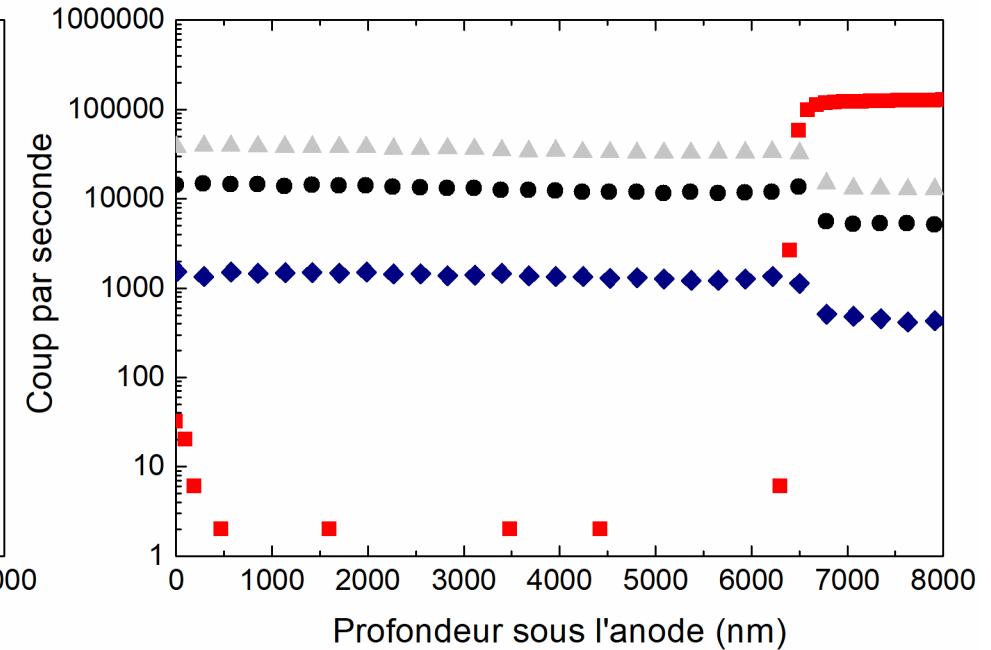
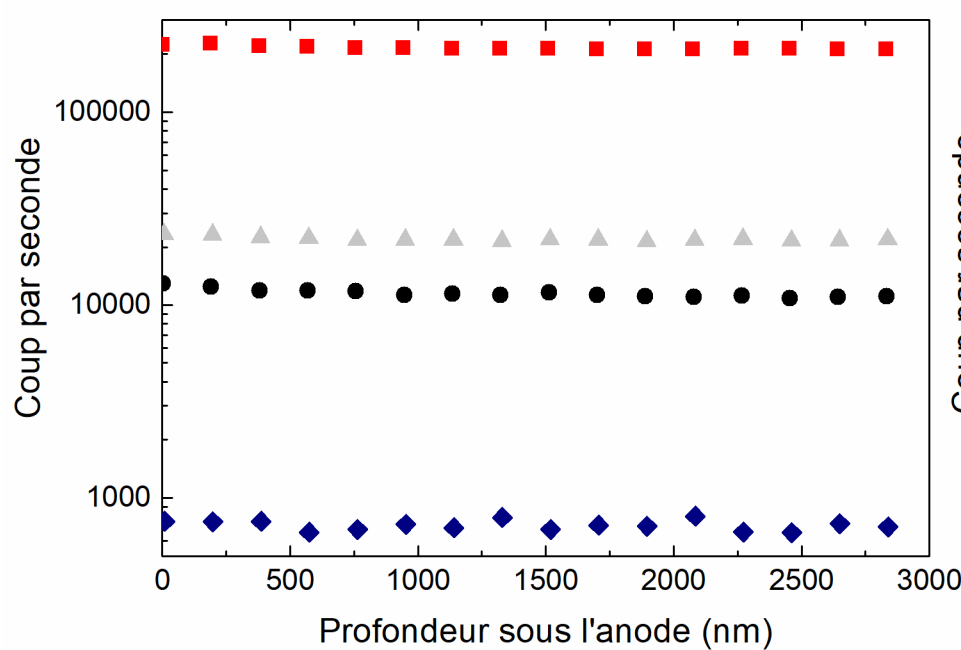


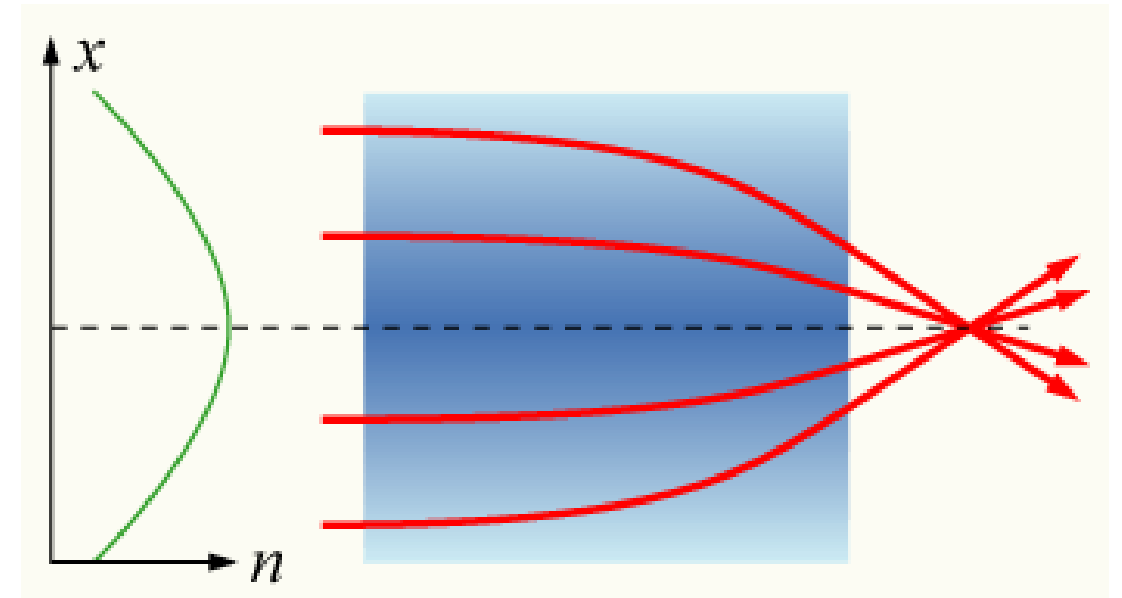
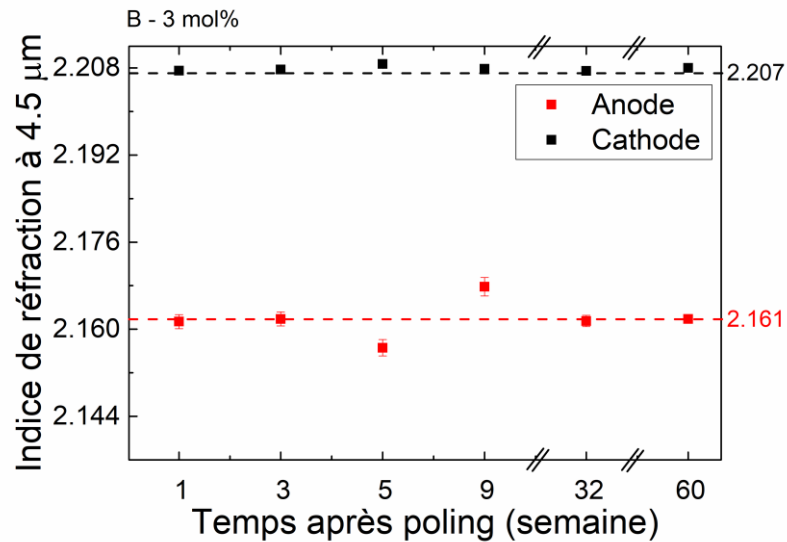
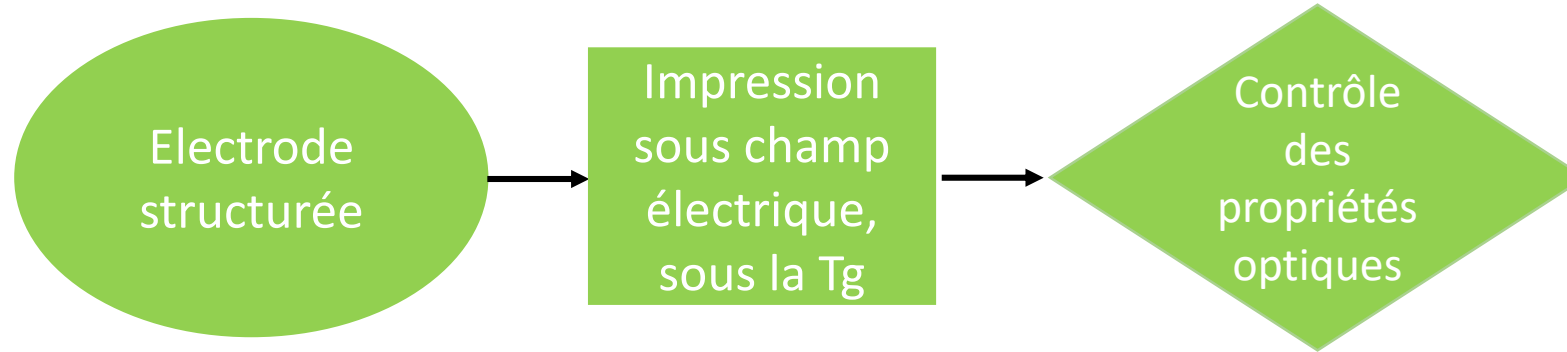
Electrode (gauche), image de phase imprimée sur le verre (centre) et detail (droite)

Lipovskii et al. **Solid State Ionics**- 2010

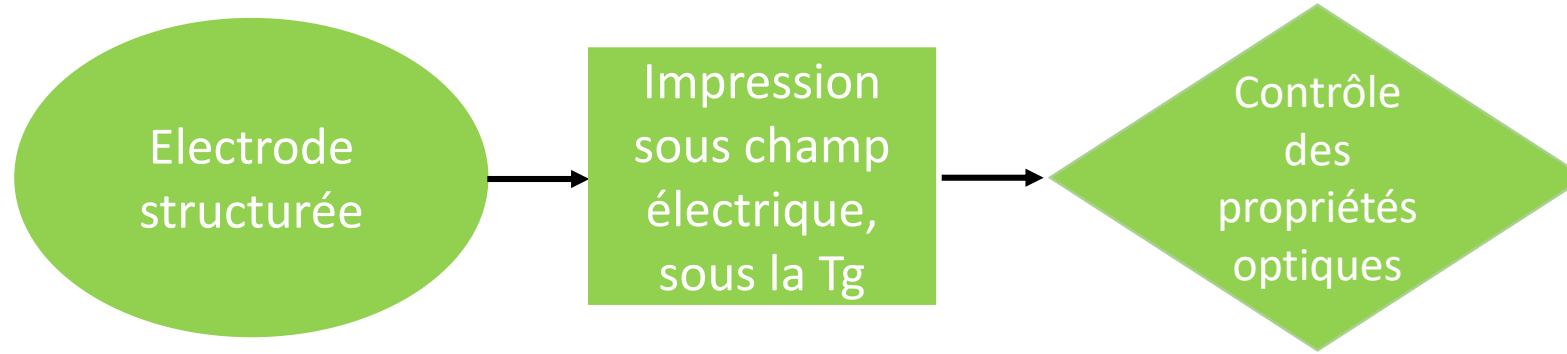


■ 23Na ● 32S ▲ 74Ge ◆ 121Sb

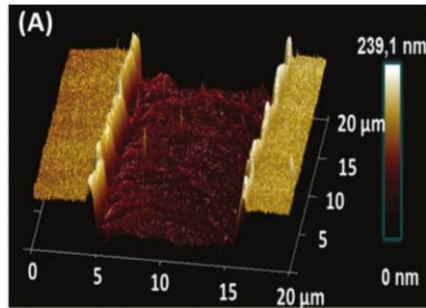




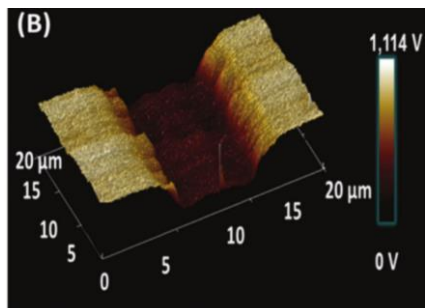
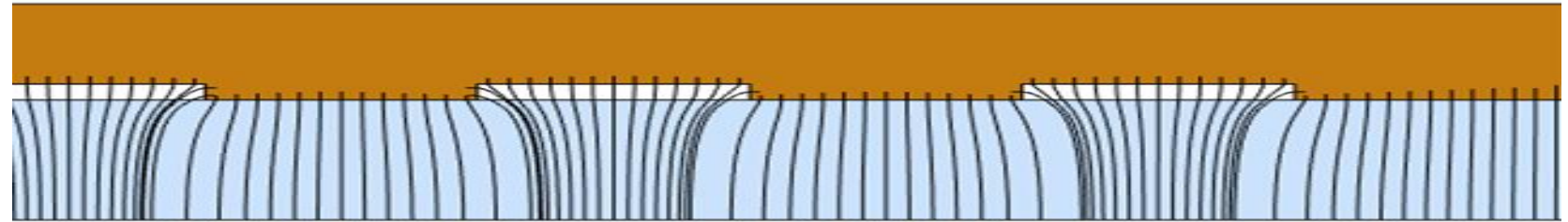
Profil d'indice d'un *GRIN* (*GR*adient of *IN*dex) et principe du *GRIN*



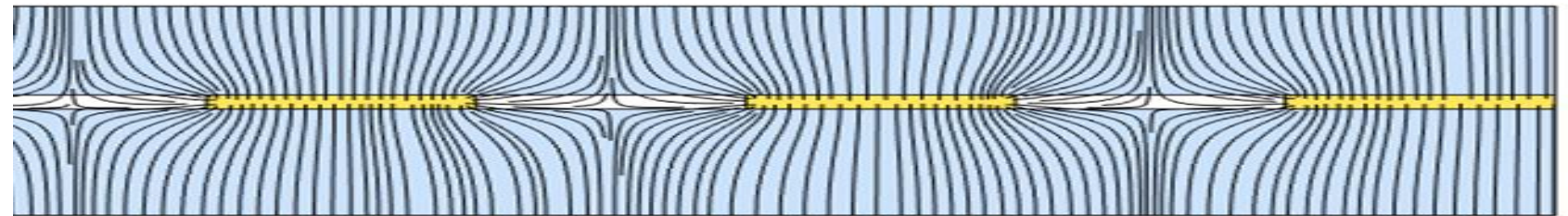
Images AFM et KPFM



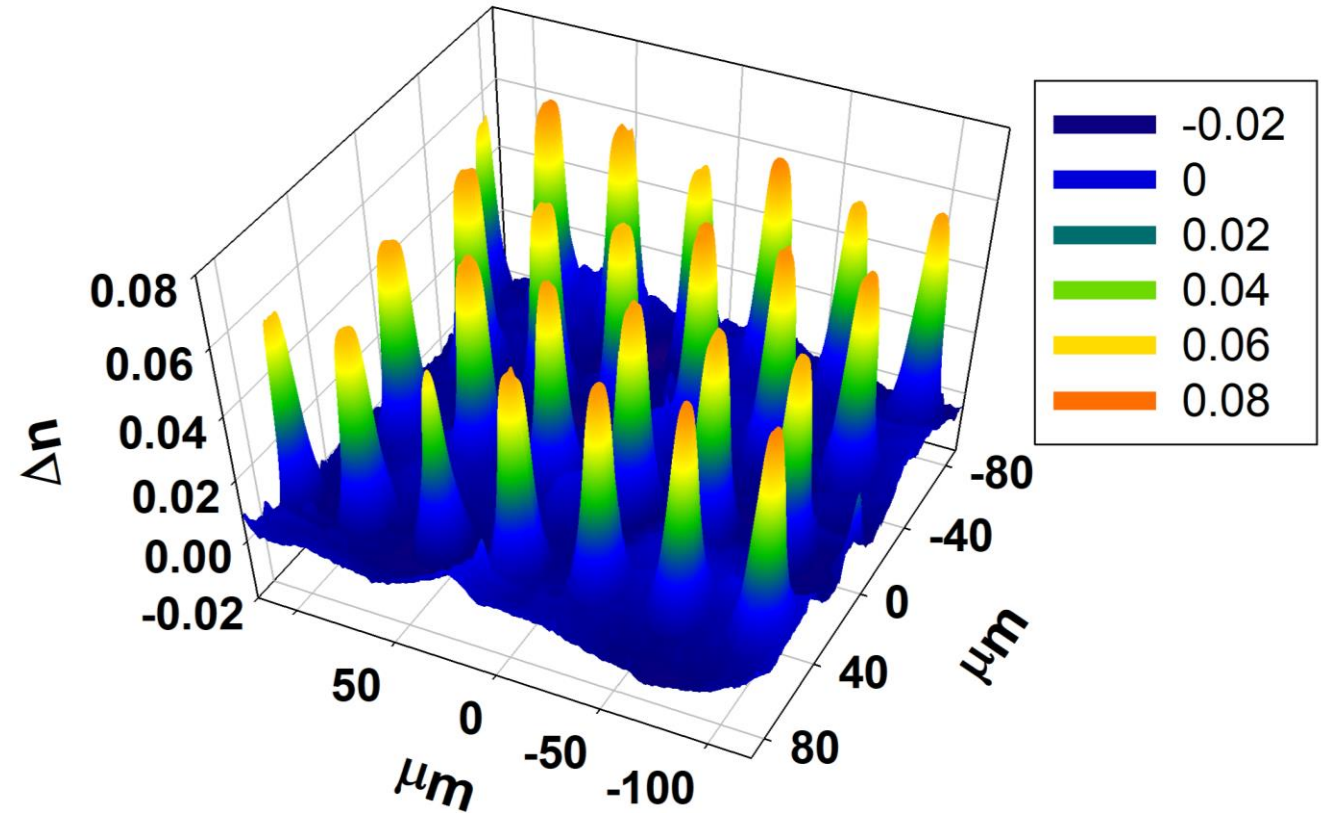
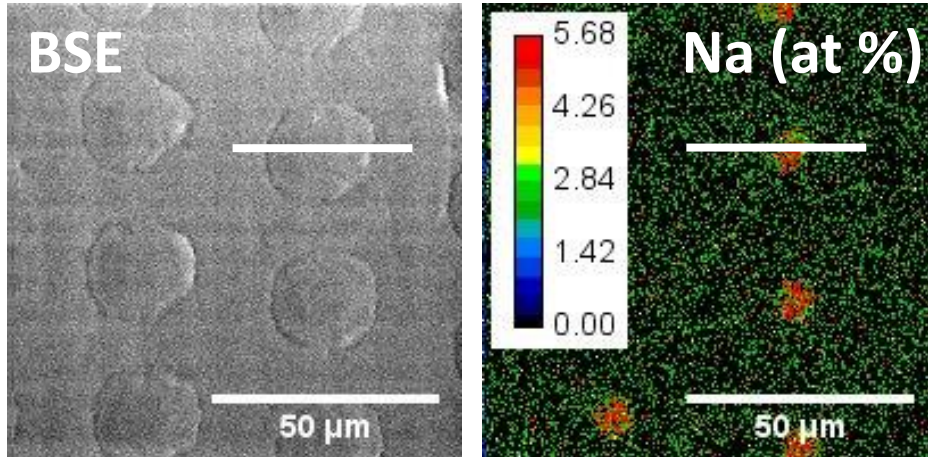
Electrode  
métallique



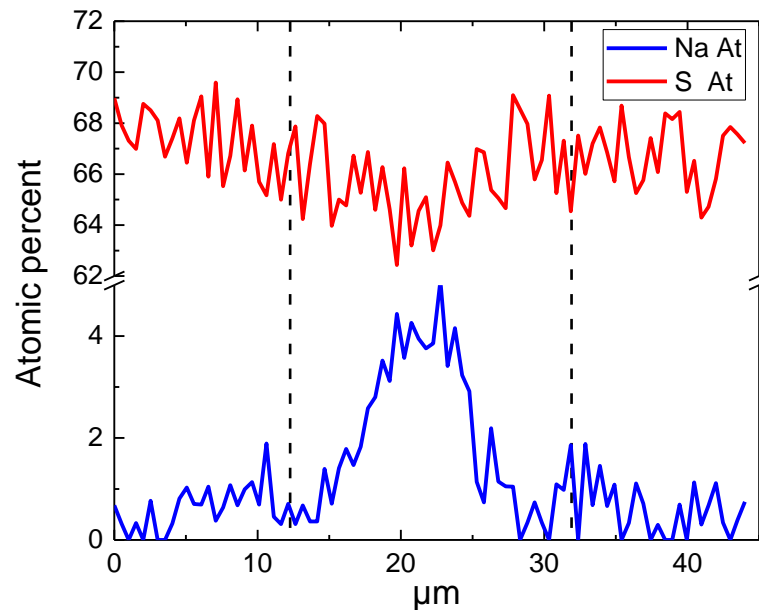
Electrode  
entre deux  
diélectriques





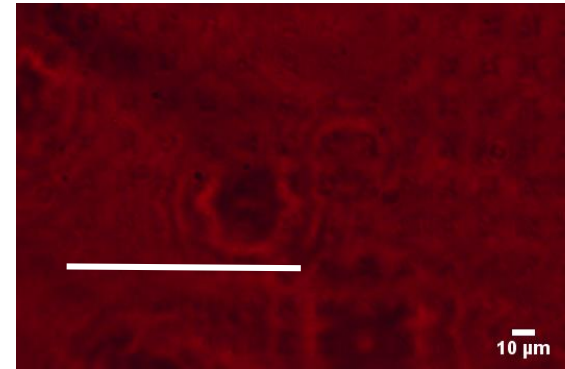


Profil  
compo  
Na et S  
(at%)

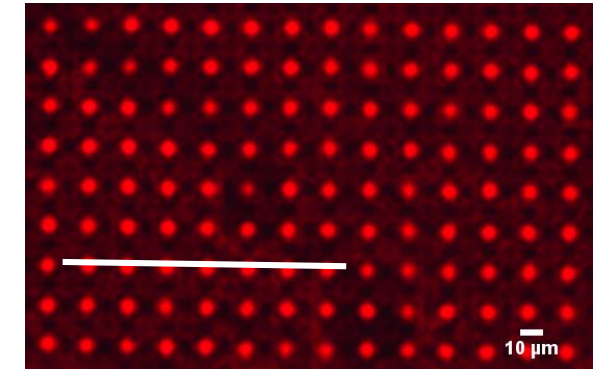


Cartographie de la variation d'indice  $\Delta n$

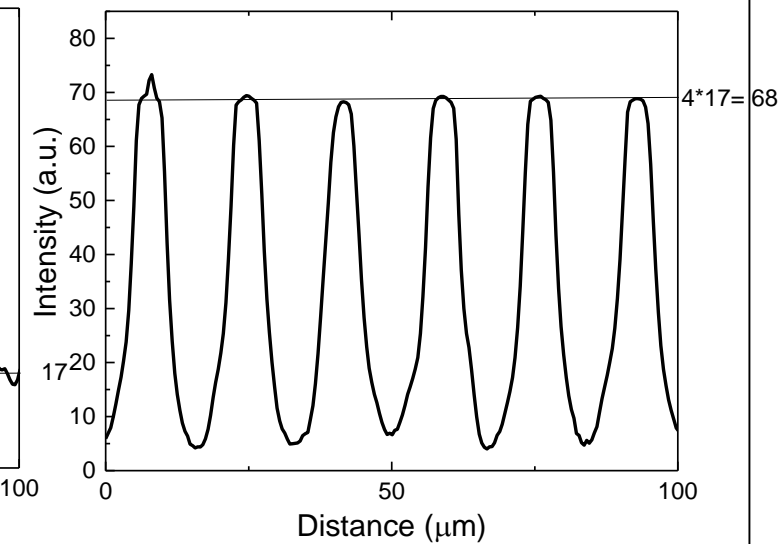
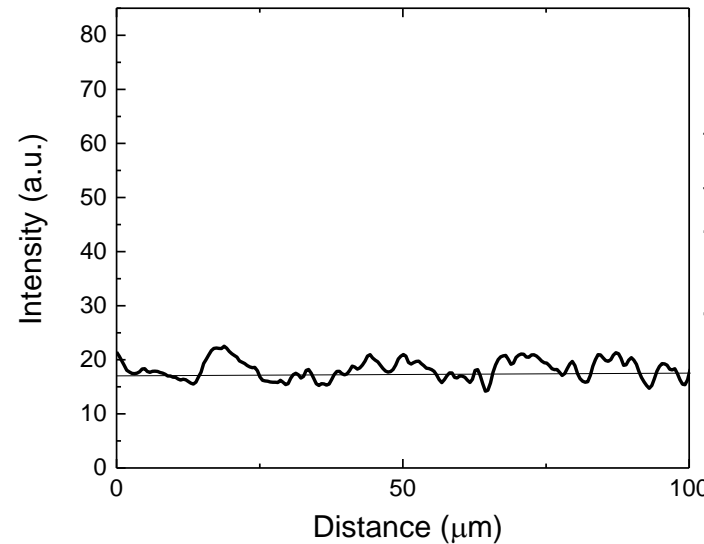
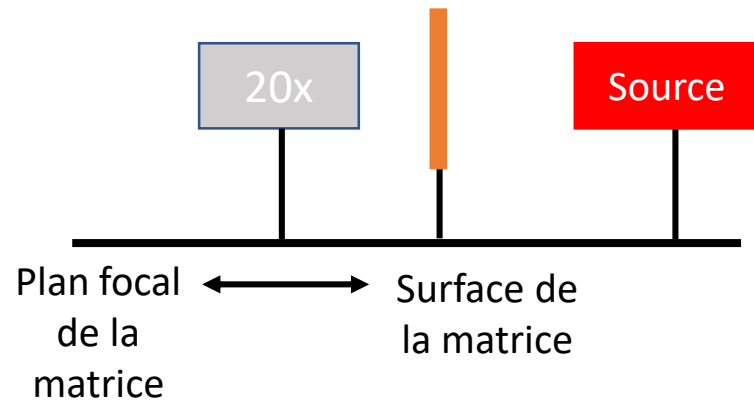
Surface



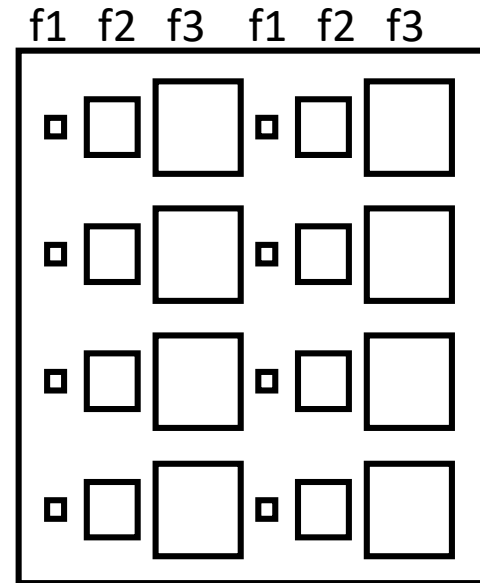
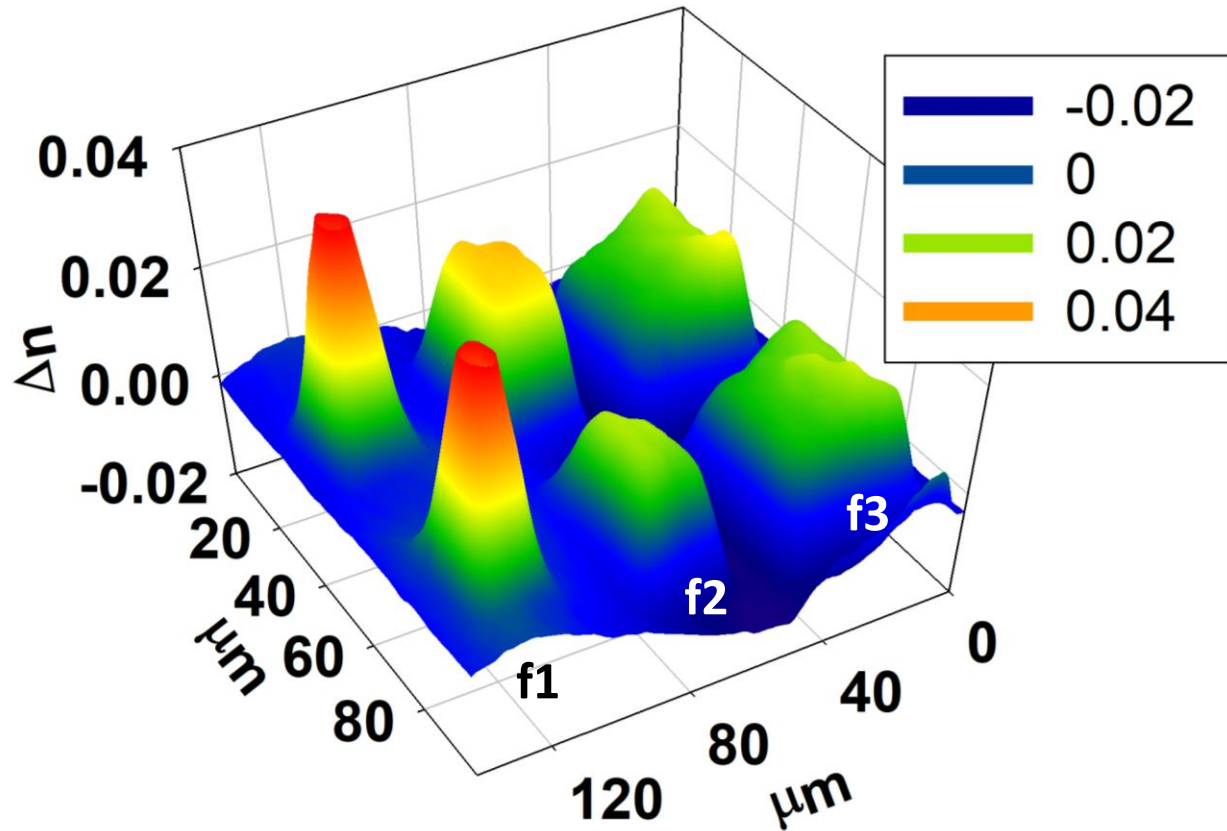
Plan focal



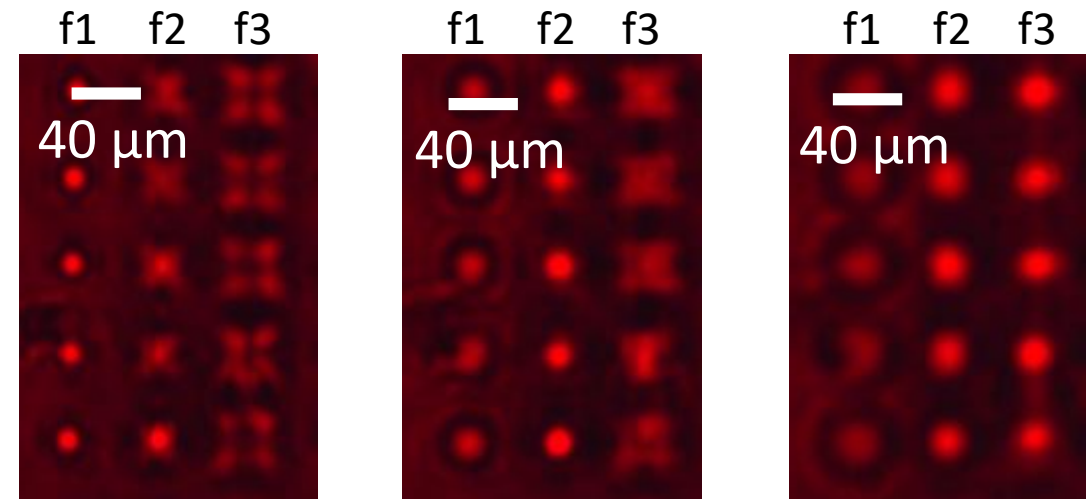
Matrice de microlentilles







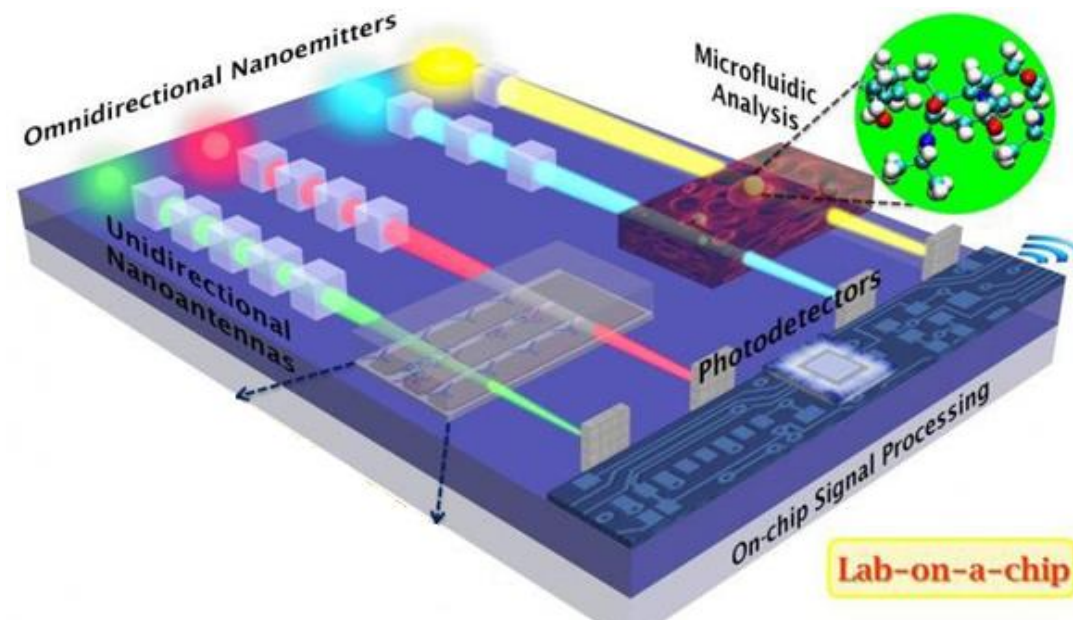
Motif	Taille	Focal
f1	Carré 17 $\mu\text{m}$	0.125 mm
f2	Carré 30 $\mu\text{m}$	0.350 mm
f3	Carré 40 $\mu\text{m}$	0.650 mm



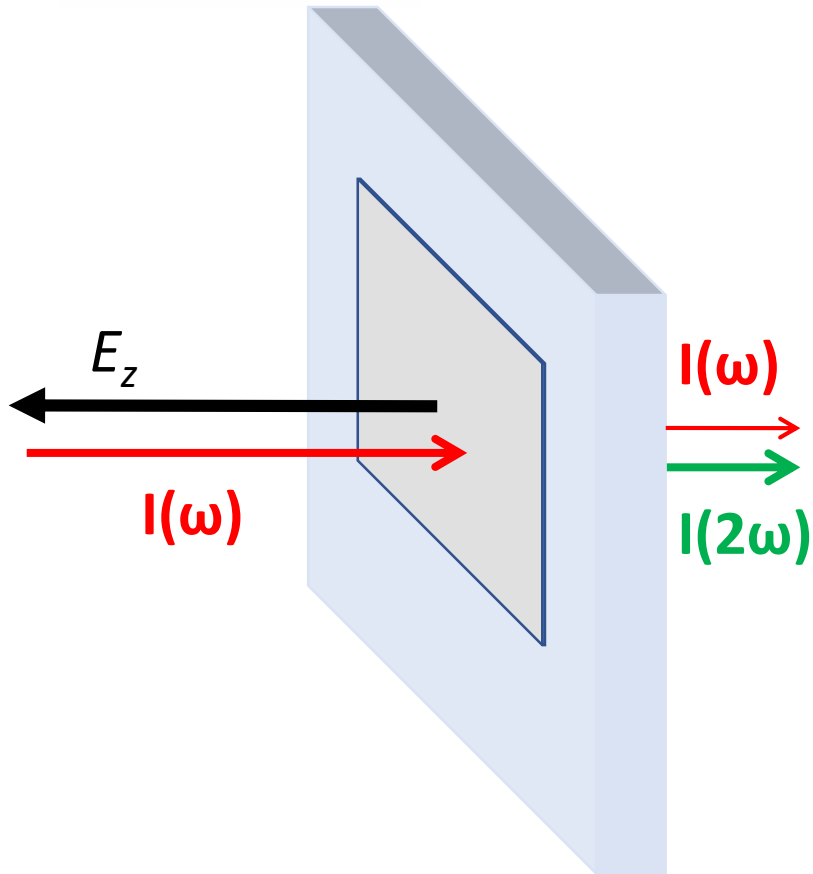
- Possibilité de créer des **éléments optiques microstructurés** (réseaux de microlentilles, réseaux de diffraction, ...)
- **Brevet européen** déposé en 2016 avec extension PCT en 2017
- **Projet de maturation** financé par AST en 2017

**Article:** Lepicard, A; Bondu, F.; Kang, M.; Siskin, L.; Yadav, A.; Adamietz, F.; Rodriguez, V.; Richardson, K.; Dussauze, M., *Micro-GRIN optics in glasses using thermal poling, 2017, en cours de soumission*

# Poling thermique pour l'optique non-linéaire: stabilisation et contrôle de l'anisotropie dans un verre de chalcogénure



D. Sidkar, Monash University



$$\vec{P}(\omega) = \varepsilon_0 \chi^{(1)} \cdot \vec{E}(\omega) + \varepsilon_0 (\chi^{(2)} \cdot \vec{E}(\omega) \cdot \vec{E}(\omega) + \chi^{(3)} \cdot \vec{E}(\omega) \cdot \vec{E}(\omega) \cdot \vec{E}(\omega) + \dots)$$

$$\chi_{eff}^{(2)} = 3 \cdot \chi^{(3)} \cdot E_{int}$$

- Effet électro-optique
- Electric Field Induced Second Harmonic
- Système actif → conversion de fréquence

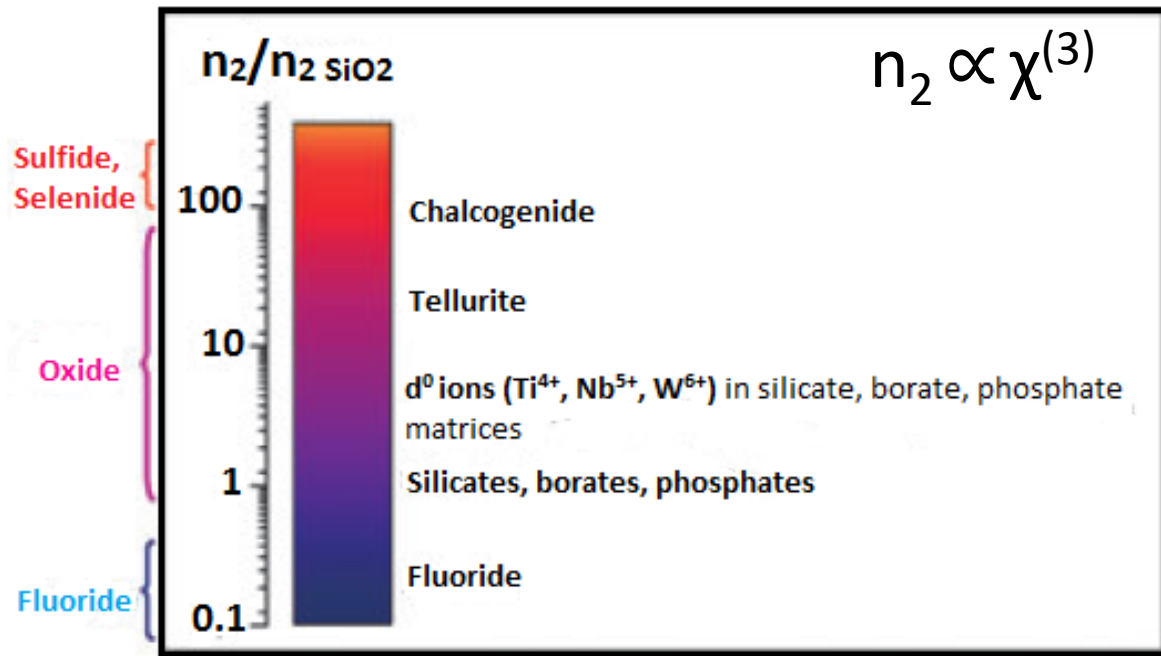
Verres vs monocristaux

- Facilité de fabrication
- Facilité d'intégration à des systèmes optiques

$$\chi_{eff}^{(2)} = 3 \cdot \chi^{(3)} \cdot E_{int}$$

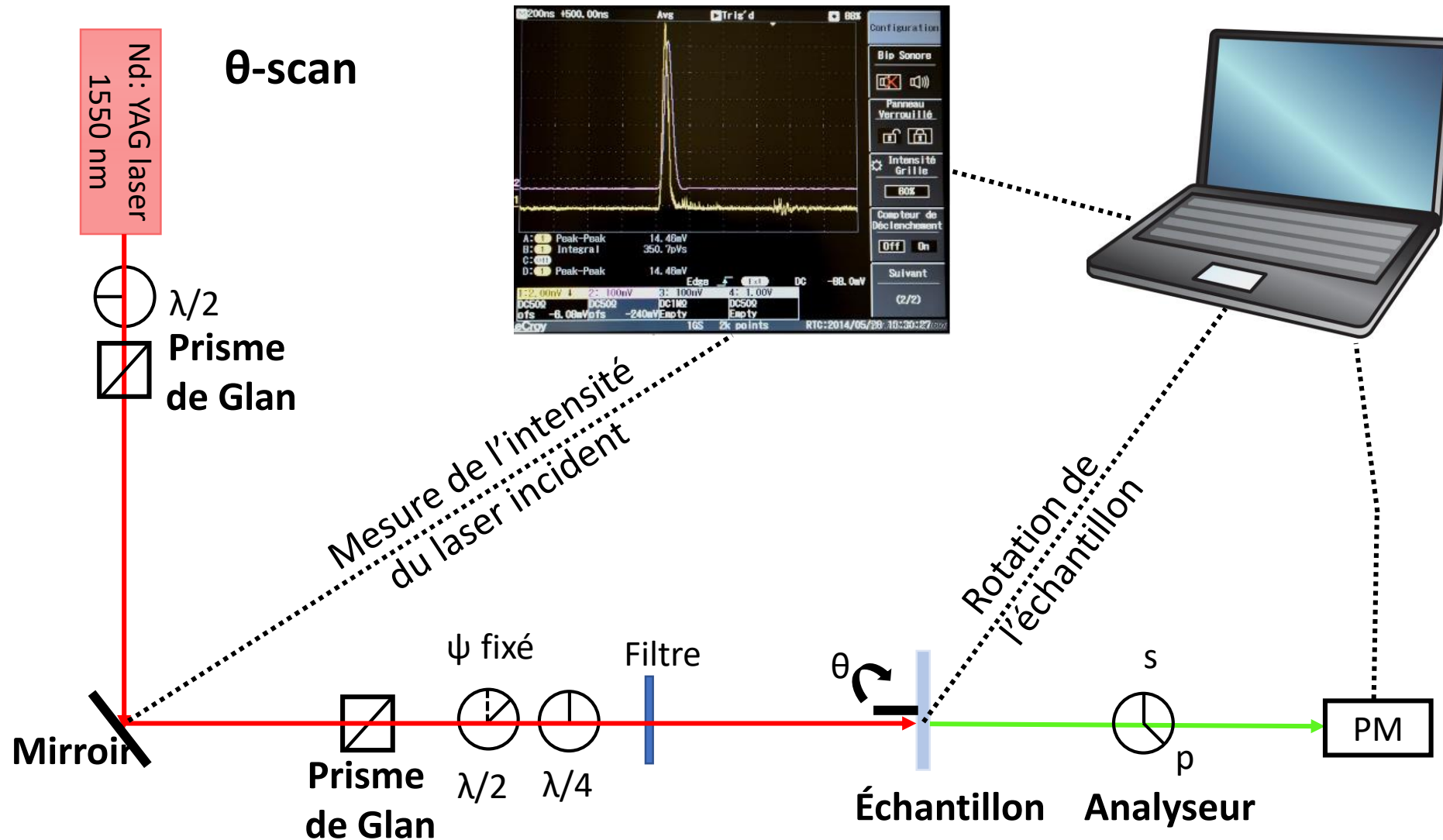
Dépendant de la composition

Measured at 1.5 μm

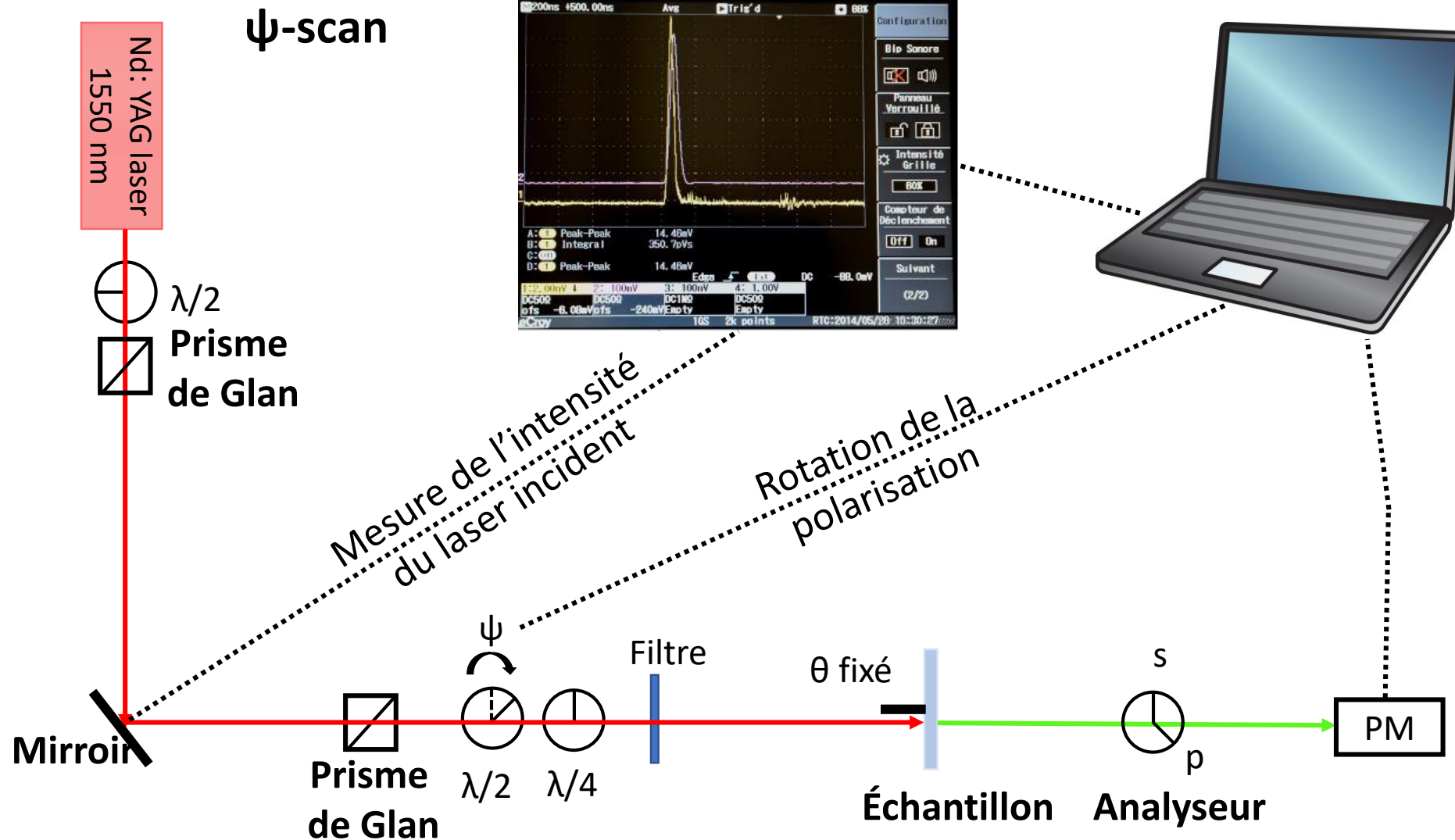


M. Dussauze et al- Int. J. Appl. Glass Sci. - 2012

Composition	$\chi^{(2)}$ after poling pm/V	Reference
Infrasil®	0.3	Dussauze et al. Int. J. Appl. Glass Sci. - 2012
Soda lime	$5.4 \cdot 10^{-2}$	Dussauze et al. Int. J. Appl. Glass Sci. - 2012
Bpn48	4.2	Dussauze et al. Opt. Mater. - 2006
$60\text{GeS}_2\text{-}20\text{Ga}_2\text{S}_3\text{-}20\text{KBr}$	7	Ren et al. Opt. Lett. 2006
$\text{Ge}_{25}\text{Sb}_{10}\text{S}_{65}$	8	Guignard et al. Adv. Func. Mater. 2007
$\text{As}_{34}\text{Ge}_6\text{Na}_2\text{S}_{58}$	$5 \cdot 10^{-2}$	Shoulders et al. Opt. Mater. Express - 2013







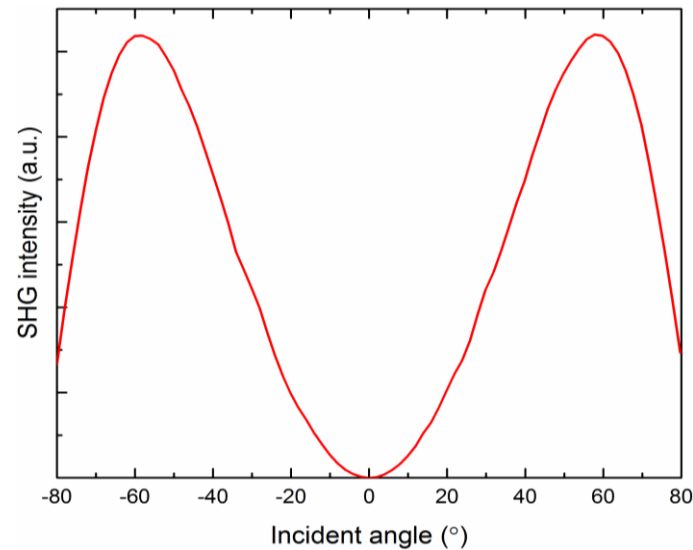
## Processus EFISH

$$\chi^{(2)} = 3 \chi^{(3)} E_{(int)}$$

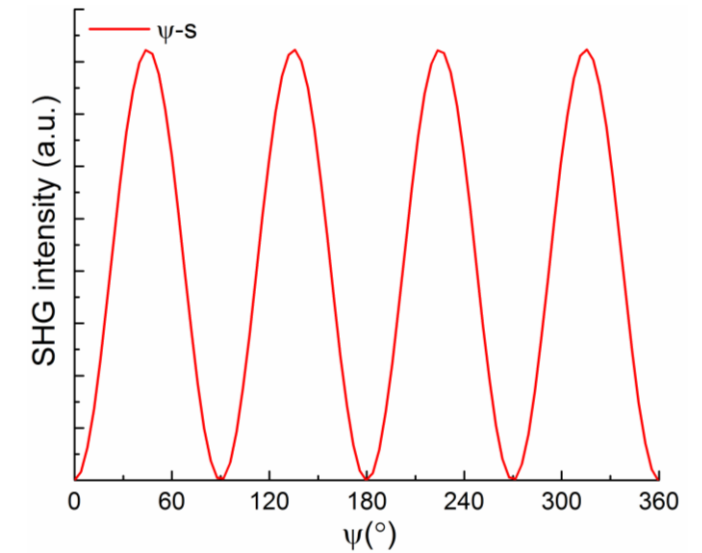
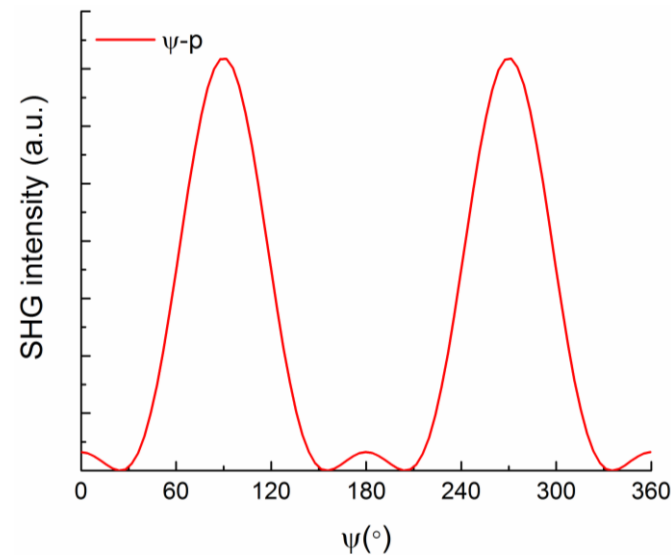
$$\begin{bmatrix} 0 & 0 & 0 & 0 & d_{31} & 0 \\ 0 & 0 & 0 & d_{31} & 0 & 0 \\ d_{31} & d_{31} & d_{33} & 0 & 0 & 0 \end{bmatrix}$$

$$d_{33} = 3d_{31}$$

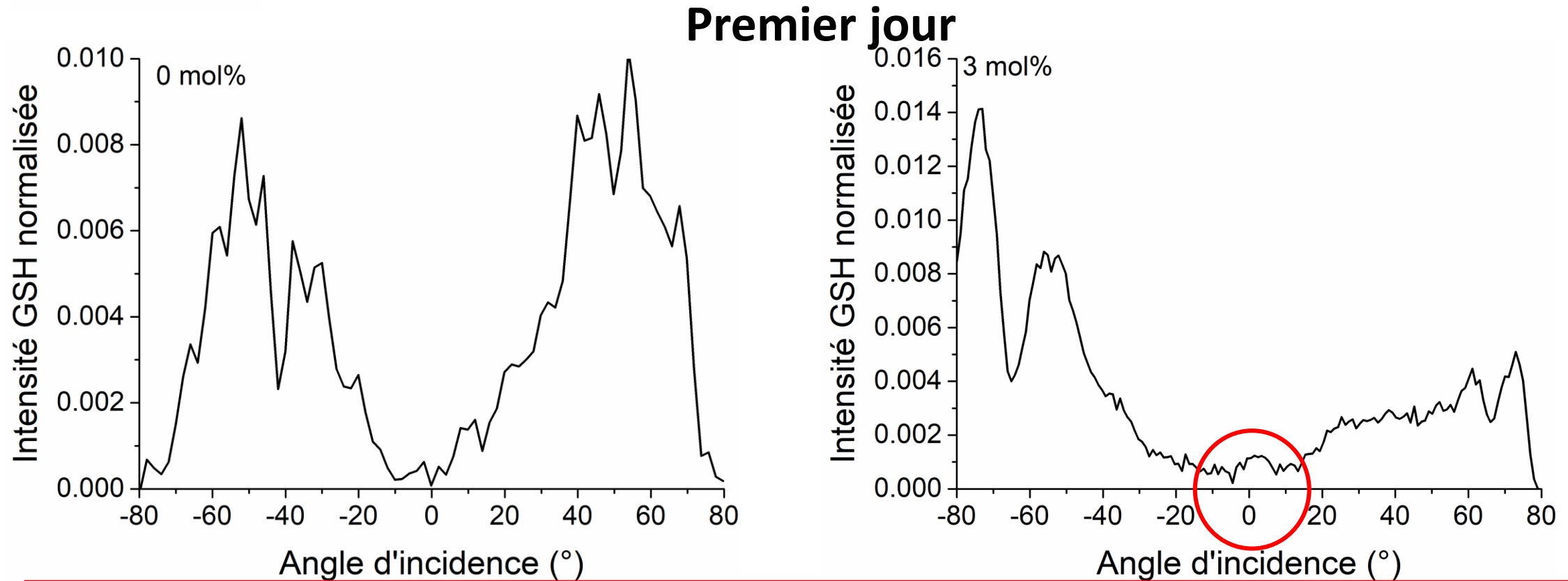
### $\theta$ -scan



### $\psi$ -scans

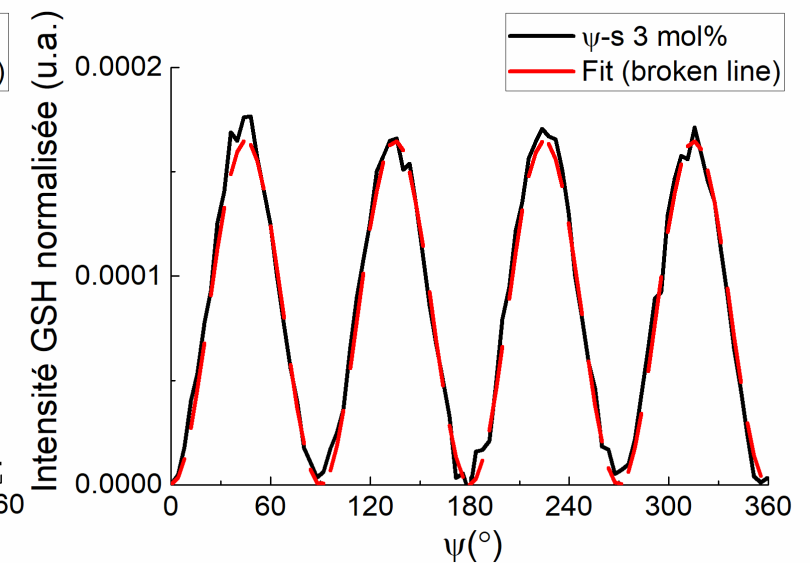
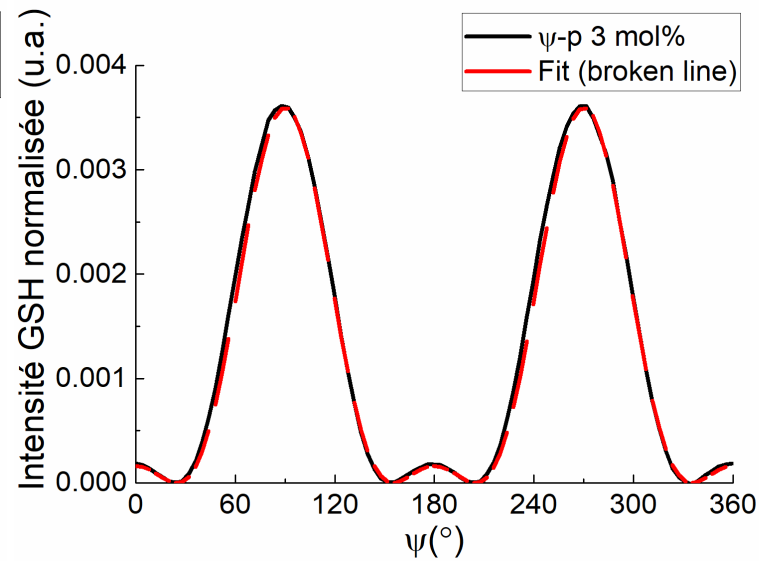
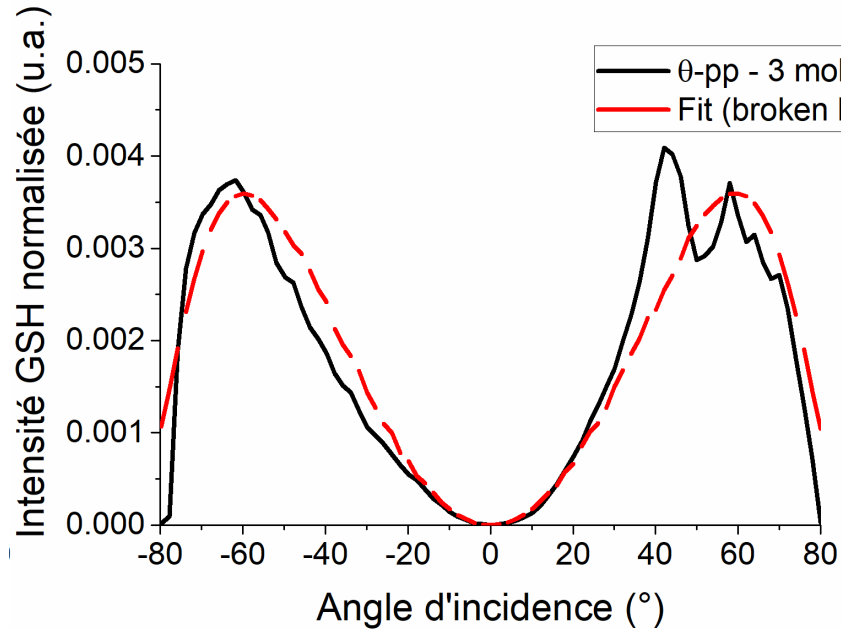


Rodriguez et al. – *J. Opt. Soc. Am. B* - 2002



- Franges **irrégulières et asymétriques**
- Signal à incidence normale → **contributions dans le plan**

## Vingtième jour

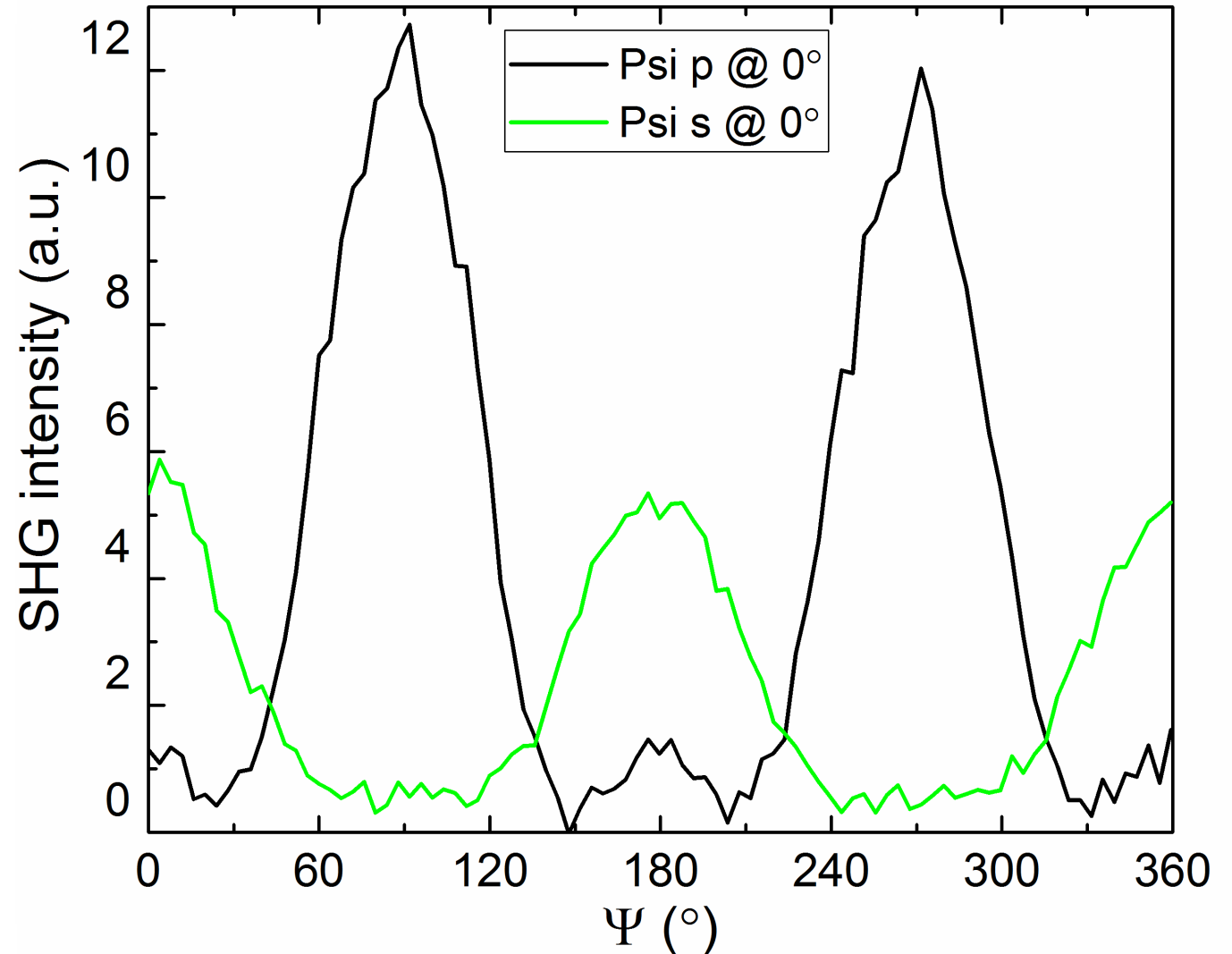
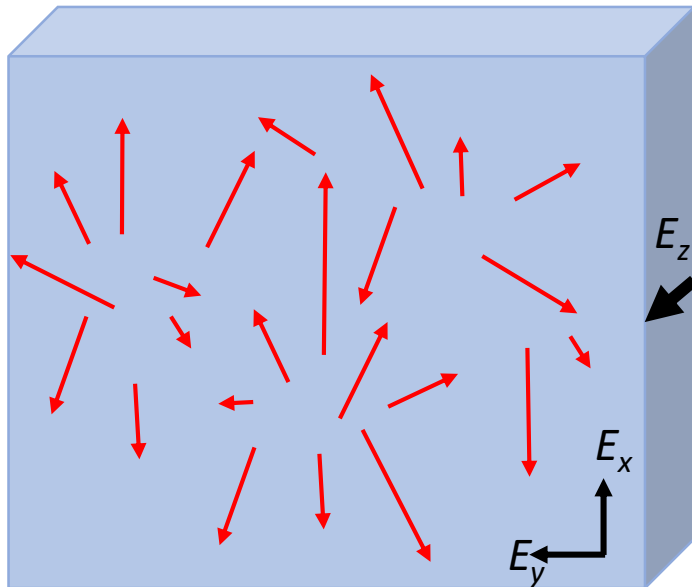


- Absence de sodium  $\rightarrow$  perte totale de signal
- **Présence de sodium  $\rightarrow$  baisse de signal  $\rightarrow$  signal EFISH selon z**

## Hypothèse

- Signal EFISH dans le plan

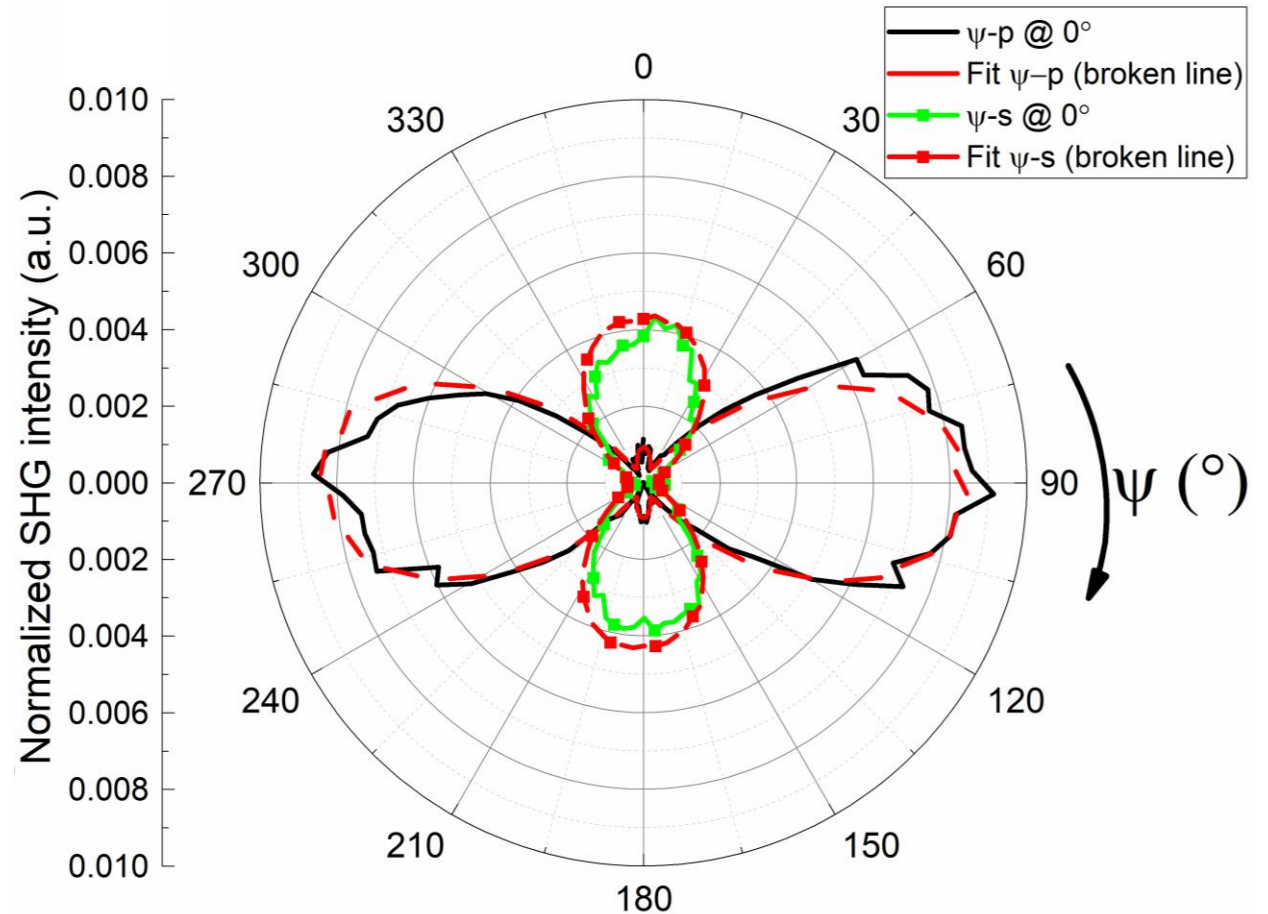
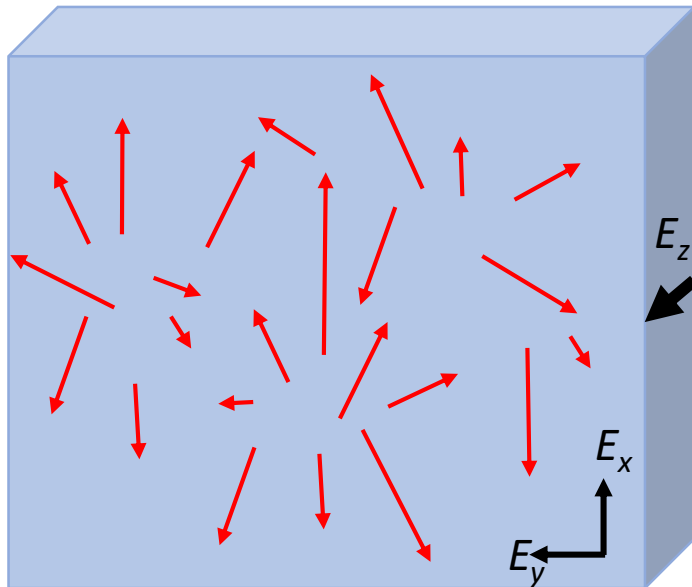
$$\begin{bmatrix} d_{11} & d_{12} & d_{12} & 0 & 0 & d_{21} \\ d_{21} & d_{22} & d_{21} & 0 & 0 & d_{12} \\ 0 & 0 & 0 & d_{21} & d_{12} & 0 \end{bmatrix} \text{ avec } E_{DC,x,y} \begin{cases} d_{11} = 3d_{12} E_{DC,x} \\ d_{22} = 3d_{21} E_{DC,y} \end{cases}$$



## Hypothèse

- Signal EFISH dans le plan

$$\begin{bmatrix} d_{11} & d_{12} & d_{12} & 0 & 0 & d_{21} \\ d_{21} & d_{22} & d_{21} & 0 & 0 & d_{12} \\ 0 & 0 & 0 & d_{21} & d_{12} & 0 \end{bmatrix} \text{ avec } E_{DC,x,y} \begin{cases} d_{11} = 3d_{12} E_{DC,x} \\ d_{22} = 3d_{21} E_{DC,y} \end{cases}$$





## Pas de sodium

## Riche en sodium

À  
 $t=0$

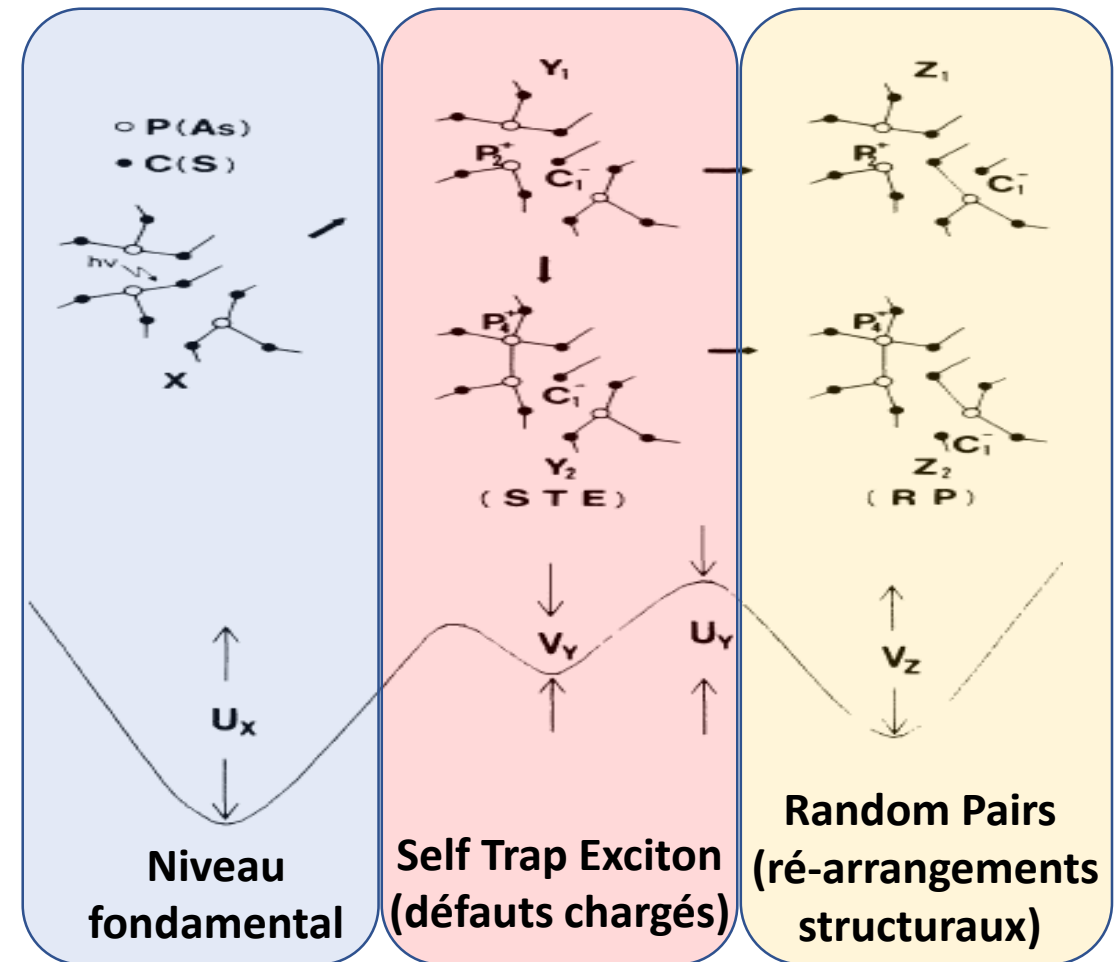
- Inhomogène
- Signal à incidence normale
- $E_{DC, x,y,z}$

- Inhomogène
- Signal à incidence normale
- $E_{DC, x,y,z}$
- Déplétion en sodium
- Restructuration

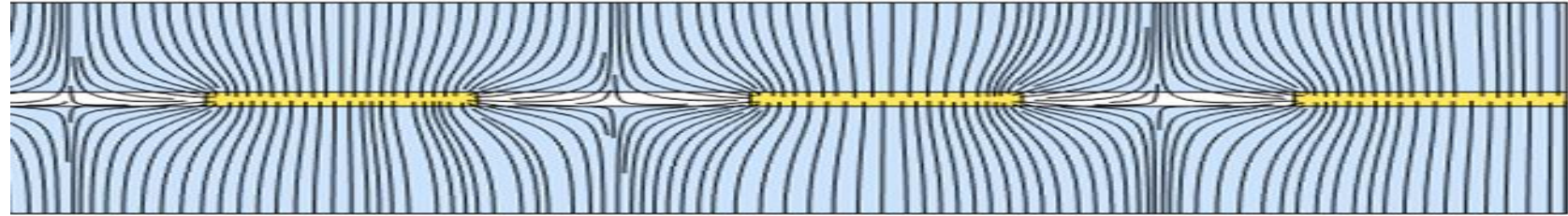
À  
 $t=\infty$

- Pas de signal

- Signal homogène
- $E_{DC, z}$
- Déplétion en sodium
- Restructuration



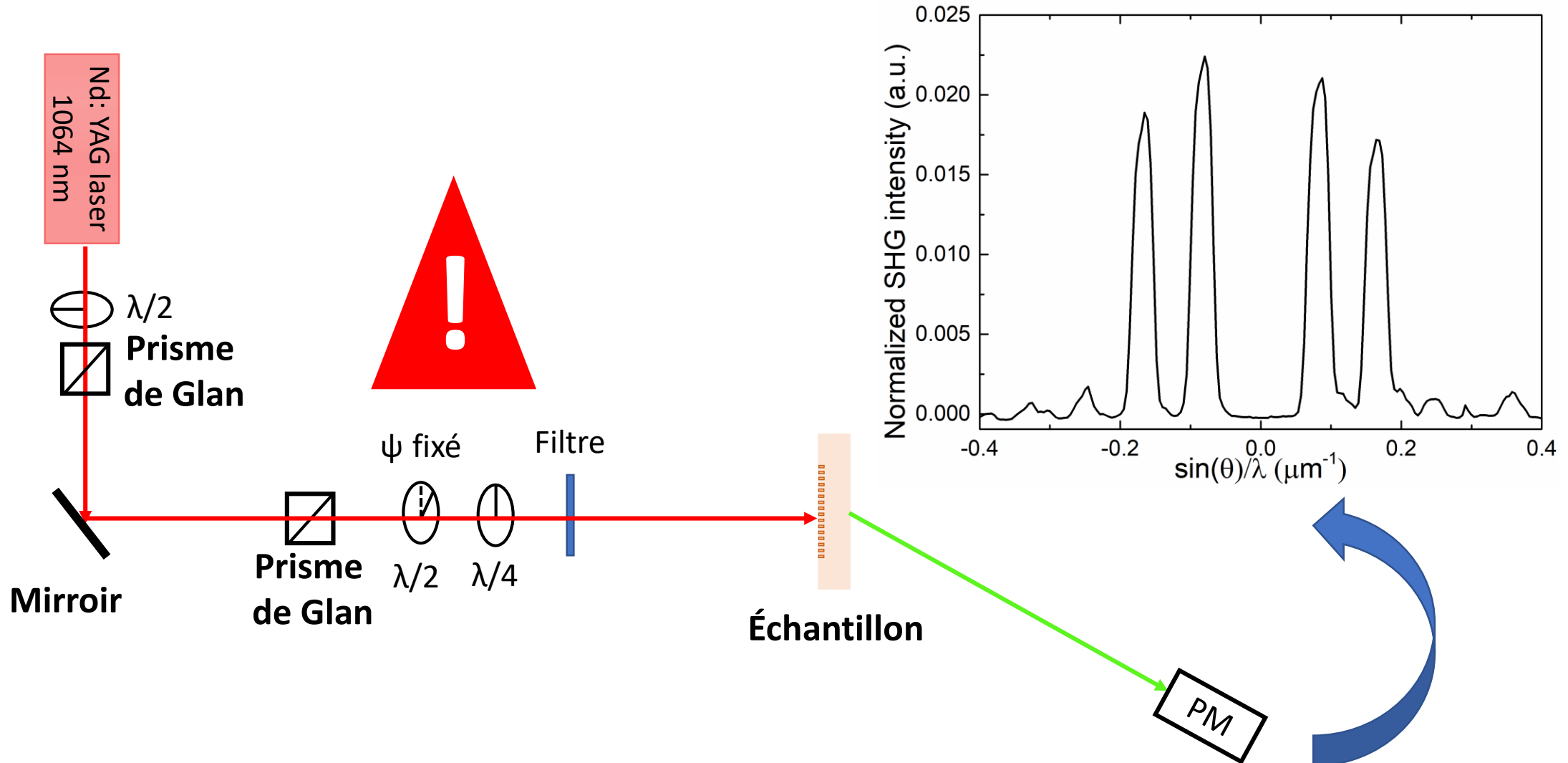
Electrode  
entre deux  
diélectriques

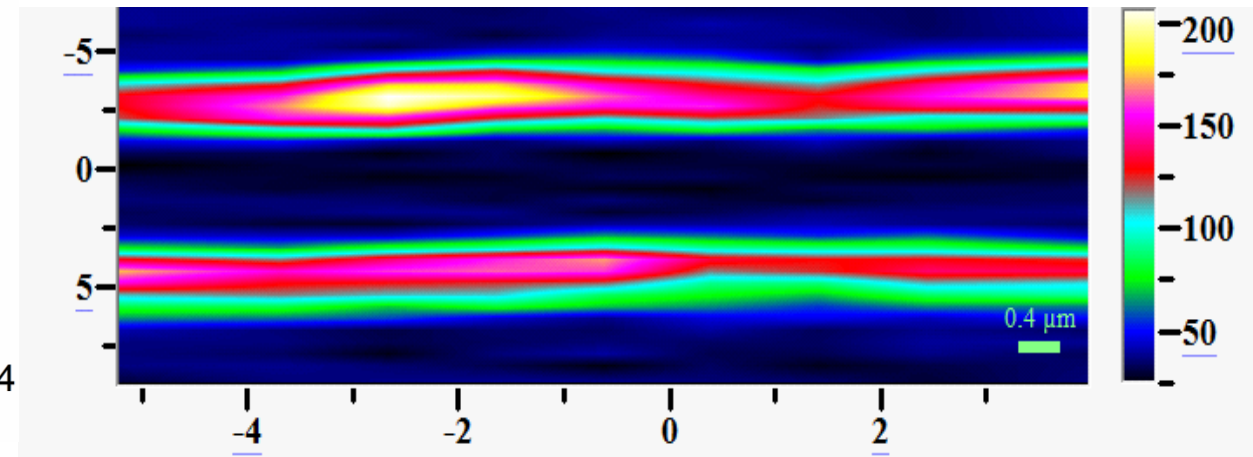
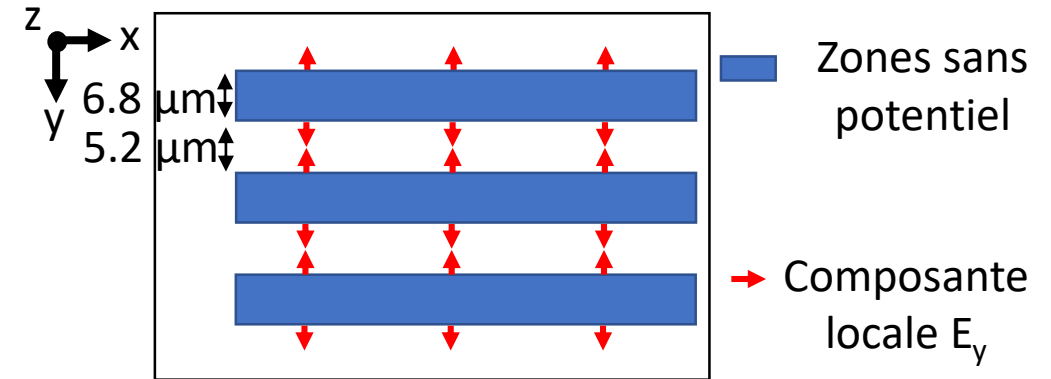
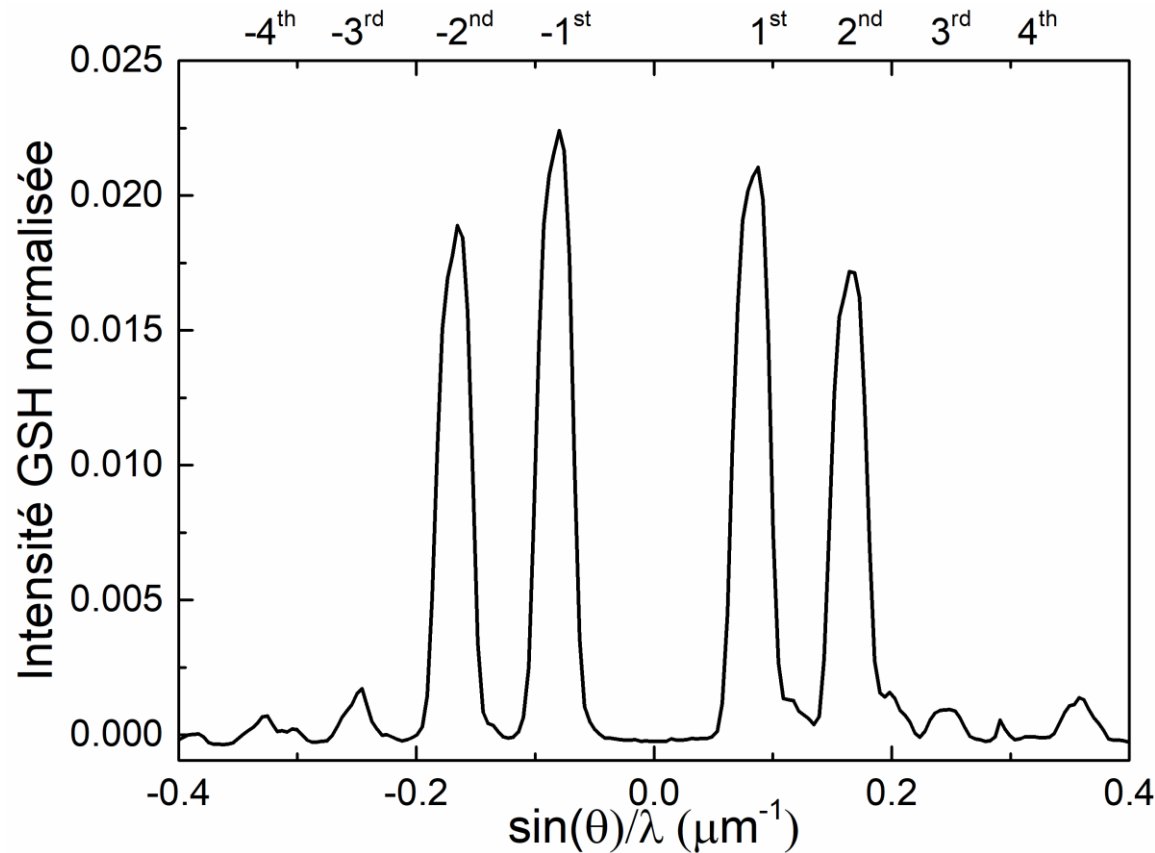


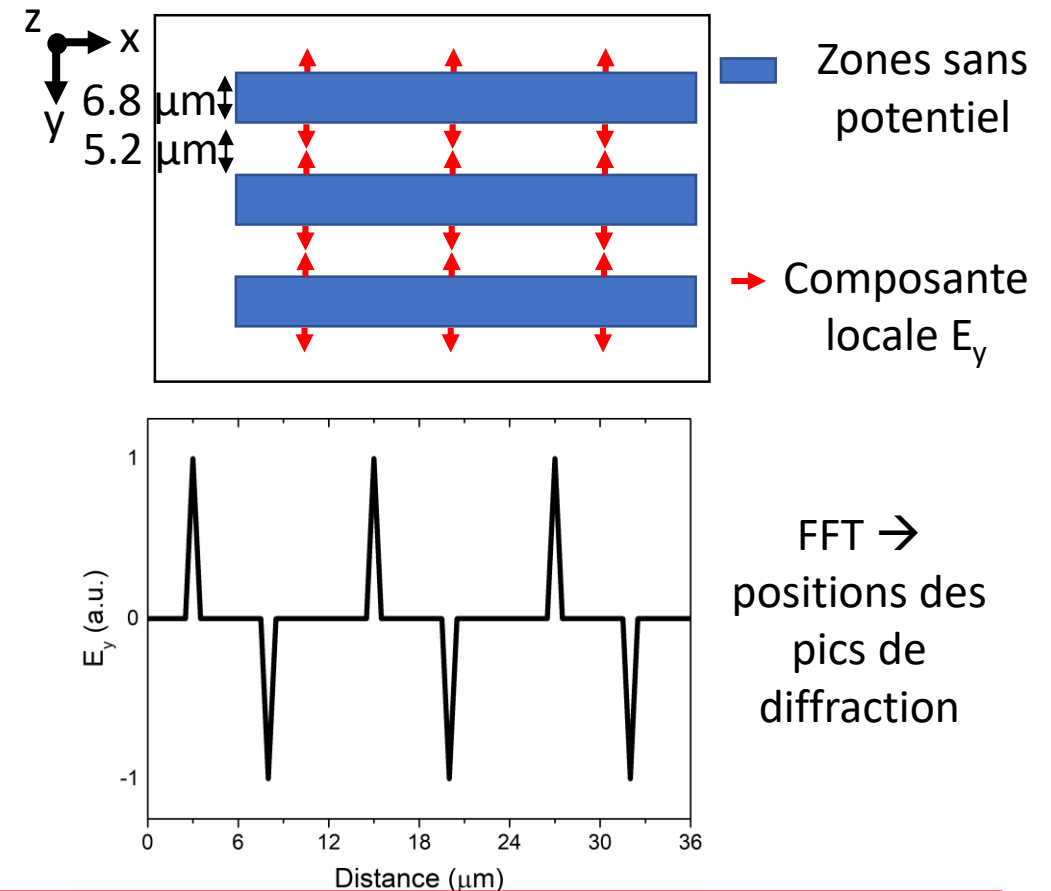
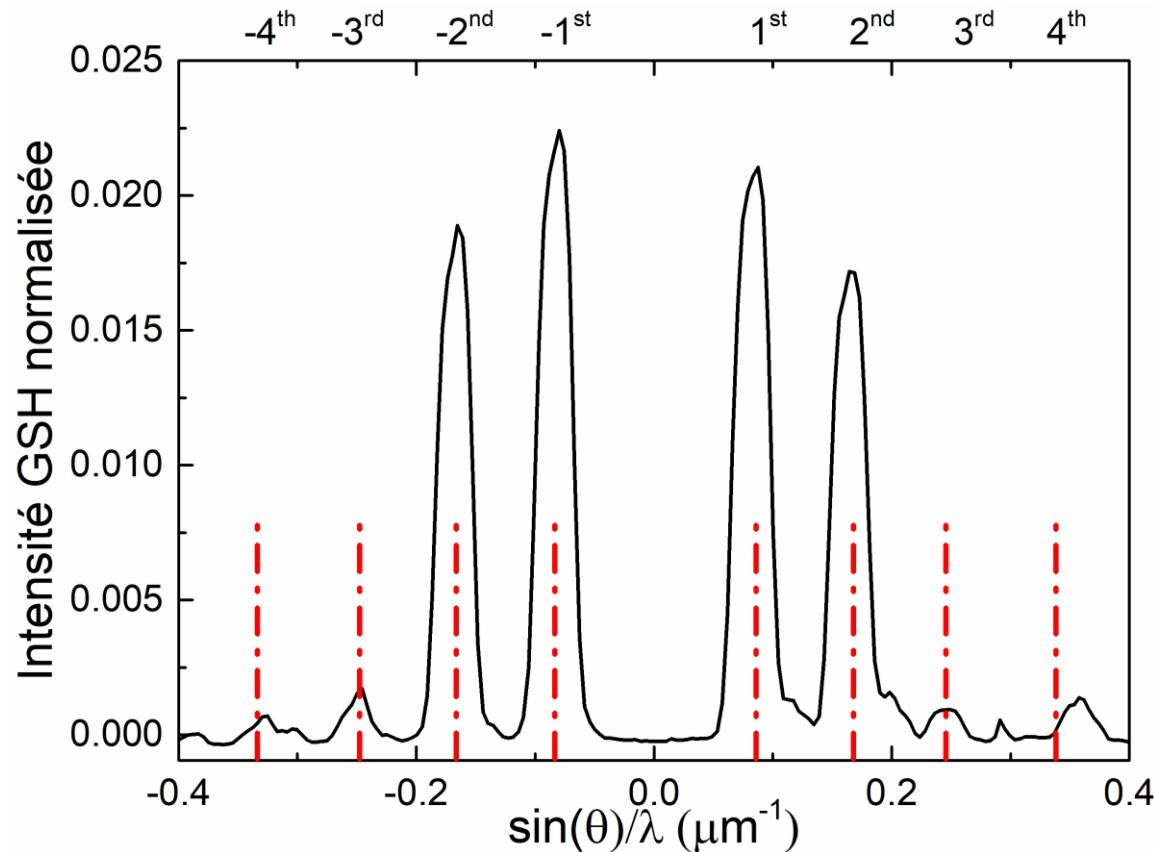
Inscription d'un réseau de  
période 12  $\mu\text{m}$



**But** : forcer la migration dans le plan  $\rightarrow$  geler la charge d'espace dans le plan







Contrôle de l'anisotropie à l'échelle micrométrique

- **Contrôle multi-échelles des propriétés optiques et chimiques**
- **Stabilisation des propriétés d'optiques non linéaire** dans les verres de **chalcogénure**
- Réalisation **d'éléments optiques** (linéaires et non linéaire) **microstructurés** par **poling thermique**

## Liste des publications:

- Lepicard, A.; Cardinal, T.; Fargin, E.; Adamietz, F.; Rodriguez, V.; Richardson, K.; Dussauze, M. *Surface Reactivity Control of a Borosilicate Glass using Thermal Poling*. Journal of Physical Chemistry C, **2015**, 119, 22999-23007
- Dussauze, M.; Rodriguez, V.; Adamietz, F.; Yang, G.; Bondu, F.; Lepicard, A.; Chafer, M.; Cardinal, T.; Fargin, E. *Accurate Second Harmonic Generation Microimprinting in Glassy Oxide Materials*. Advanced Optical Materials, **2016**, 929-935
- Lepicard, A.; Cardinal, T.; Fargin, E.; Adamietz, F.; Rodriguez, V.; Richardson, K.; Dussauze, M. *Micro-structuring the surface reactivity of a borosilicate glass via thermal poling*. Chem. Phys. Lett., **2016**
- Lepicard, A.; Adamietz, F.; Rodriguez, V.; Richardson, K.; Dussauze, M., *Dimensional control and stabilization of second harmonic electro-optical response in chalcogenide glasses*, **2017, soumis**
- Lepicard, A.; Bondu, F.; Kang, M.; Sisken, L.; Yadav, A.; Adamietz, F.; Rodriguez, V.; Richardson, K.; Dussauze, M., *Micro-GRIN optics in glasses using thermal poling*, **2017, en cours de soumission**

Contact: [lepicard.antoine@gmail.com](mailto:lepicard.antoine@gmail.com)